



MINISTÉRIO DA INFRAESTRUTURA
SECRETARIA EXECUTIVA

PORTRARIA CONJUNTA Nº 15, DE 05 DE OUTUBRO DE 2020

Aprova o Zoneamento Civil – Militar do Sítio Aeroportuário Eduardo Gomes/Manaus - AM (SBEG).

O SECRETÁRIO-EXECUTIVO do MINISTÉRIO DA INFRAESTRUTURA e o COMANDANTE DA AERONÁUTICA, no uso de suas atribuições, e considerando o disposto no art. 35, parágrafo único, inciso IX da Lei nº 13.844, de 18 de junho de 2019, no art. 33 da Lei nº 7.565, de 19 de dezembro de 1986, no Decreto nº 6.834, de 30 de abril de 2009, no Decreto nº 10.368, de 22 de maio de 2020, no art. 2º da Portaria Normativa Interministerial nº 24, de 21 de janeiro de 2014, na Portaria Conjunta SAC-MTPA/COMAER nº 6, de 5 de setembro de 2018, alterada pela Portaria COMAER/DECEA nº 77, de 31 de maio de 2019, e no que consta nos processos SAC-MINFRA e COMAER, ambos de nº 50000.009010/2020-31, resolvem:

Art. 1º Aprovar o Plano de Zoneamento Civil-Militar (PZCM) do Sítio Aeroportuário Eduardo Gomes/Manaus (SBEG), localizado no Município de Manaus-AM, que define como área civil 13.154.263,74 m² (treze milhões, cento e cinquenta e quatro mil, duzentos e sessenta e três vírgula setenta e quatro metros quadrados) e como área militar a remanescente, conforme delimitados nos memoriais descritivos e na planta, anexos aos processos supramencionados, os quais integram esta Portaria para todos os efeitos.

Art. 2º A transferência patrimonial da área civil para o Ministério da Infraestrutura (MINFRA) será efetivada oportunamente pela Secretaria de Coordenação e Governança do Patrimônio da União (SPU), do Ministério da Economia (ME).

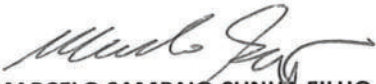
Art. 3º As áreas classificadas como especiais sujeitam-se ao disposto na Portaria Conjunta nº 6, de 5 de setembro de 2018, alterada pela Portaria COMAER/DECEA nº 77, de 31 de maio de 2019, que dispõe sobre as diretrizes para identificação e classificação de áreas utilizadas por instalações e equipamentos do SISCEAB nos aeródromos civis públicos.

Art. 4º Em caso de operações militares de aeronaves em configurações que não possam ser comportadas no Aeródromo de Ponta Pelada (SBMN) devido à restrições técnicas da capacidade instalada, o Concessionário do Aeroporto de Manaus (SBEG) deverá, excepcionalmente, viabilizar o uso da infraestrutura aeroportuária existente no referido aeródromo, em coordenação com o COMAER, para a realização das operações.

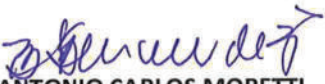
§1º Deverão constar em edital e no contrato de concessão do referido aeroporto as cláusulas com as condições para as operações militares, a serem acordadas entre a SAC/MINFRA e o COMAER/MD.

§2º As cláusulas citadas no parágrafo anterior deverão ser revistas a cada nova concessão do referido aeroporto.

Art. 5º Esta Portaria entra em vigor na data de sua publicação no Diário Oficial da União (DOU), ficando a cargo do MINFRA essa providência.



MARCELO SAMPAIO CUNHA FILHO
Secretário-Executivo
Ministério da Infraestrutura



Ten Brig Ar ANTONIO CARLOS MORETTI
BERMUDEZ
Comandante da Aeronáutica



MINISTÉRIO DA DEFESA
COMANDO DA AERONÁUTICA
DIRETORIA DE INFRAESTRUTURA DA AERONÁUTICA

MEMORIAL DESCRIPTIVO Nº 10/2019

Imóvel: Aeroporto Internacional Eduardo Gomes (vários Tombos).

Proprietário: União Federal - administrado pelo Comando da Aeronáutica.

Município: Manaus

UF: AM

Área real: 13.298.916,92 m²

Perímetro real: 16.540,49 m

I - OBJETO

Memorial descritivo da poligonal principal, que define o perímetro da **ÁREA TOTAL**, do Zoneamento Civil-Militar do Aeroporto Internacional Eduardo Gomes, situado na Av. do Turismo, Tarumã-Manaus/AM.

II - DESCRIÇÃO DA POLIGONAL

Inicia-se a descrição deste perímetro no vértice **0**, de coordenadas N **9.662.889,626** m e E **830.668,144** m. Do vértice **0**, segue com azimute de 265°13'31" e distância de 130,09 m até o vértice **C-1**, de coordenadas N **9.662.878,798** m e E **830.538,507** m, segue com azimute de 265°36'52" e distância de 217,68 m até o vértice **C-2**, de coordenadas N **9.662.862,151** m e E **830.321,459** m, segue com azimute de 265°21'00" e distância de 130,79 m até o vértice **C-3**, de coordenadas N **9.662.851,548** m e E **830.191,097** m, segue com azimute de 264°11'10" e distância de 227,91 m até o vértice **C-4**, de coordenadas N **9.662.828,462** m e E **829.964,364** m, segue com azimute de 262°38'03" e distância de 209,68 m até o vértice **B**, de coordenadas N **9.662.801,580** m e E **829.756,413** m, segue com azimute de 264°13'42" e distância de 1.500,00 m até o vértice **A**, de coordenadas N **9.662.650,735** m e E **828.264,017** m, segue com azimute de 265°17'33" e distância de 212,18 m até o vértice **1**, de coordenadas N **9.662.633,322** m e E **828.052,554** m, segue com azimute de 186°28'35" e distância de 222,25 m até o vértice **1-A**, de coordenadas N **9.662.412,492** m e E **828.027,486** m, segue com azimute de 187°19'23" e distância de 249,94 m até o vértice **2**, de coordenadas N **9.662.164,594** m e E **827.995,628** m, segue com azimute de 259°03'40" e distância de 520,60 m até o vértice **3**, de coordenadas N **9.662.065,805** m e E **827.484,491** m, segue com azimute de 184°03'04" e distância de 199,97 m até o vértice **4**, de coordenadas N **9.661.866,332** m e E **827.470,364** m, segue com azimute de 284°45'58" e distância de 40,57 m até o vértice **4-A**, de coordenadas N **9.661.876,673** m e E **827.431,132** m, segue com azimute de 280°26'07" e distância de 23,67 m até o vértice **4-B**, de coordenadas N **9.661.880,960** m e E **827.407,855** m, segue com azimute de 283°27'35" e distância de 32,38 m até o vértice **4-C**, de coordenadas N **9.661.888,496** m e E **827.376,367** m, segue com azimute de 299°53'03" e distância de 19,68 m até o vértice **5**, de coordenadas N **9.661.898,302** m e E **827.359,302** m, segue com azimute de 307°58'33" e distância

de 27,09 m até o vértice **5-A**, de coordenadas N **9.661.914,973** m e E **827.337,946** m, segue com azimute de $305^{\circ}51'56''$ e distância de 18,06 m até o vértice **5-B**, de coordenadas N **9.661.925,555** m e E **827.323,308** m, segue com azimute de $301^{\circ}43'54''$ e distância de 23,43 m até o vértice **6**, de coordenadas N **9.661.937,879** m e E **827.303,378** m, segue com azimute de $297^{\circ}08'02''$ e distância de 25,96 m até o vértice **6-A**, de coordenadas N **9.661.949,717** m e E **827.280,279** m, segue com azimute de $286^{\circ}51'03''$ e distância de 23,69 m até o vértice **7**, de coordenadas N **9.661.956,584** m e E **827.257,609** m, segue com azimute de $270^{\circ}25'24''$ e distância de 31,53 m até o vértice **7-A**, de coordenadas N **9.661.956,817** m e E **827.226,079** m, segue com azimute de $273^{\circ}35'43''$ e distância de 26,68 m até o vértice **8**, de coordenadas N **9.661.958,490** m e E **827.199,454** m, segue com azimute de $281^{\circ}01'15''$ e distância de 45,93 m até o vértice **8-A**, de coordenadas N **9.661.967,270** m e E **827.154,372** m, segue com azimute de $283^{\circ}11'38''$ e distância de 45,58 m até o vértice **9**, de coordenadas N **9.661.977,673** m e E **827.109,996** m, segue com azimute de $261^{\circ}16'32''$ e distância de 29,15 m até o vértice **10**, de coordenadas N **9.661.973,251** m e E **827.081,180** m, segue com azimute de $285^{\circ}37'43''$ e distância de 14,50 m até o vértice **10-A**, de coordenadas N **9.661.977,158** m e E **827.067,213** m, segue com azimute de $296^{\circ}50'06''$ e distância de 22,20 m até o vértice **10-B**, de coordenadas N **9.661.987,179** m e E **827.047,406** m, segue com azimute de $310^{\circ}41'31''$ e distância de 36,58 m até o vértice **11**, de coordenadas N **9.662.011,030** m e E **827.019,668** m, segue com azimute de $306^{\circ}16'16''$ e distância de 12,45 m até o vértice **11-A**, de coordenadas N **9.662.018,396** m e E **827.009,631** m, segue com azimute de $293^{\circ}41'12''$ e distância de 10,03 m até o vértice **12**, de coordenadas N **9.662.022,424** m e E **827.000,447** m, segue com azimute de $270^{\circ}05'20''$ e distância de 40,69 m até o vértice **12-A**, de coordenadas N **9.662.022,487** m e E **826.959,755** m, segue com azimute de $260^{\circ}19'08''$ e distância de 16,33 m até o vértice **13**, de coordenadas N **9.662.019,741** m e E **826.943,654** m, segue com azimute de $254^{\circ}19'31''$ e distância de 38,25 m até o vértice **13-A**, de coordenadas N **9.662.009,408** m e E **826.906,830** m, segue com azimute de $253^{\circ}07'01''$ e distância de 18,66 m até o vértice **13-B**, de coordenadas N **9.662.003,989** m e E **826.888,976** m, segue com azimute de $280^{\circ}21'58''$ e distância de 8,69 m até o vértice **14**, de coordenadas N **9.662.005,552** m e E **826.880,433** m, segue com azimute de $331^{\circ}43'27''$ e distância de 50,30 m até o vértice **15**, de coordenadas N **9.662.049,852** m e E **826.856,604** m, segue com azimute de $280^{\circ}28'20''$ e distância de 65,86 m até o vértice **16**, de coordenadas N **9.662.061,822** m e E **826.791,844** m, segue com azimute de $277^{\circ}37'06''$ e distância de 44,96 m até o vértice **17**, de coordenadas N **9.662.067,782** m e E **826.747,284** m, segue com azimute de $262^{\circ}45'32''$ e distância de 77,35 m até o vértice **17-A**, de coordenadas N **9.662.058,032** m e E **826.670,548** m, segue com azimute de $277^{\circ}36'32''$ e distância de 35,57 m até o vértice **18**, de coordenadas N **9.662.062,741** m e E **826.635,297** m, segue com azimute de $324^{\circ}05'48''$ e distância de 10,11 m até o vértice **19**, de coordenadas N **9.662.070,929** m e E **826.629,368** m, segue com azimute de $20^{\circ}50'32''$ e distância de 23,25 m até o vértice **19-A**, de coordenadas N **9.662.092,658** m e E **826.637,641** m, segue com azimute de $358^{\circ}38'30''$ e distância de 12,13 m até o vértice **19-B**, de coordenadas N **9.662.104,783** m e E **826.637,353** m, segue com azimute de $338^{\circ}41'41''$ e distância de 21,15 m até o vértice **19-C**, de coordenadas N **9.662.124,484** m e E **826.629,670** m, segue com azimute de $3^{\circ}20'18''$ e distância de 41,08 m até o vértice **20**, de coordenadas N **9.662.165,496** m e E **826.632,062** m, segue com azimute de $323^{\circ}44'45''$ e distância de 16,06 m até o vértice **20-A**, de coordenadas N **9.662.178,447** m e E **826.622,565** m, segue com azimute de $291^{\circ}43'55''$ e distância de 29,02 m até o vértice **20-B**, de coordenadas N **9.662.189,192** m e E **826.595,608** m, segue com azimute de $273^{\circ}21'24''$ e distância de 30,44 m até o vértice **21**, de coordenadas N **9.662.190,974** m e E **826.565,224** m, segue com azimute de $261^{\circ}13'44''$ e distância de 13,69 m até o vértice **21-A**, de coordenadas N **9.662.188,886** m e E **826.551,689** m, segue com azimute de $235^{\circ}24'05''$ e distância de 30,48 m até o vértice **21-B**, de coordenadas N **9.662.171,578** m e E **826.526,599** m, segue com azimute de $242^{\circ}04'25''$ e distância de 41,09 m até o vértice **22**, de coordenadas N **9.662.152,334** m e E **826.490,293** m, segue com azimute de $250^{\circ}44'07''$ e distância de 34,07 m até o vértice **23**, de coordenadas N **9.662.141,093** m e E **826.458,131** m, segue com azimute de $264^{\circ}43'11''$ e distância de 23,77 m até o vértice **23-A**, de coordenadas N **9.662.138,905** m e E **826.434,460** m, segue com azimute de $302^{\circ}06'58''$ e distância de 73,76 m até o vértice **24**, de coordenadas N **9.662.178,121** m e E **826.371,985** m, segue com azimute de $297^{\circ}46'51''$ e distância de 161,07 m até o vértice **25**, de

coordenadas N **9.662.253,192** m e E **826.229,484** m, segue com azimute de 303°15'36" e distância de 103,84 m até o vértice **26**, de coordenadas N **9.662.310,142** m e E **826.142,654** m, segue com azimute de 298°27'40" e distância de 166,80 m até o vértice **26-A**, de coordenadas N **9.662.389,632** m e E **825.996,014** m, segue com azimute de 305°30'08" e distância de 65,95 m até o vértice **26-B**, de coordenadas N **9.662.427,932** m e E **825.942,324** m, segue com azimute de 313°22'59" e distância de 129,81 m até o vértice **27**, de coordenadas N **9.662.517,092** m e E **825.847,984** m, segue com azimute de 277°15'15" e distância de 117,21 m até o vértice **28**, de coordenadas N **9.662.531,892** m e E **825.731,714** m, segue com azimute de 293°16'25" e distância de 118,39 m até o vértice **28-A**, de coordenadas N **9.662.578,672** m e E **825.622,954** m, segue com azimute de 321°49'37" e distância de 43,55 m até o vértice **29**, de coordenadas N **9.662.612,907** m e E **825.596,039** m, segue com azimute de 322°12'48" e distância de 43,87 m até o vértice **30**, de coordenadas N **9.662.647,574** m e E **825.569,161** m, segue com azimute de 294°01'05" e distância de 39,39 m até o vértice **31**, de coordenadas N **9.662.663,608** m e E **825.533,180** m, segue com azimute de 260°46'05" e distância de 54,02 m até o vértice **32**, de coordenadas N **9.662.654,941** m e E **825.479,858** m, segue com azimute de 231°00'13" e distância de 55,78 m até o vértice **33**, de coordenadas N **9.662.619,841** m e E **825.436,507** m, segue com azimute de 262°17'44" e distância de 58,18 m até o vértice **34**, de coordenadas N **9.662.612,041** m e E **825.378,850** m, segue com azimute de 275°03'42" e distância de 68,76 m até o vértice **35**, de coordenadas N **9.662.618,107** m e E **825.310,356** m, segue com azimute de 308°29'40" e distância de 49,72 m até o vértice **36**, de coordenadas N **9.662.649,057** m e E **825.271,438** m, segue com azimute de 353°14'11" e distância de 48,69 m até o vértice **37**, de coordenadas N **9.662.697,409** m e E **825.265,704** m, segue com azimute de 340°38'43" e distância de 25,00 m até o vértice **38**, de coordenadas N **9.662.720,992** m e E **825.257,420** m, segue com azimute de 3°10'03" e distância de 43,72 m até o vértice **39**, de coordenadas N **9.662.764,646** m e E **825.259,836** m, segue com azimute de 358°28'44" e distância de 25,59 m até o vértice **40**, de coordenadas N **9.662.790,225** m e E **825.259,157** m, segue com azimute de 352°48'26" e distância de 25,85 m até o vértice **41**, de coordenadas N **9.662.815,867** m e E **825.255,920** m, segue com azimute de 10°09'39" e distância de 32,00 m até o vértice **42**, de coordenadas N **9.662.847,365** m e E **825.261,566** m, segue com azimute de 8°41'14" e distância de 98,11 m até o vértice **43**, de coordenadas N **9.662.944,347** m e E **825.276,384** m, segue com azimute de 8°13'48" e distância de 31,53 m até o vértice **44**, de coordenadas N **9.662.975,550** m e E **825.280,897** m, segue com azimute de 18°58'06" e distância de 23,81 m até o vértice **45**, de coordenadas N **9.662.998,072** m e E **825.288,638** m, segue com azimute de 39°02'07" e distância de 224,70 m até o vértice **CJ-6**, de coordenadas N **9.663.172,612** m e E **825.430,156** m, segue com azimute de 39°02'07" e distância de 311,32 m até o vértice **A1**, de coordenadas N **9.663.414,429** m e E **825.626,223** m, segue com azimute de 39°23'59" e distância de 444,64 m até o vértice **46**, de coordenadas N **9.663.758,016** m e E **825.908,444** m, segue com azimute de 34°50'41" e distância de 71,31 m até o vértice **47**, de coordenadas N **9.663.816,541** m e E **825.949,187** m, segue com azimute de 7°19'39" e distância de 51,69 m até o vértice **48**, de coordenadas N **9.663.867,812** m e E **825.955,780** m, segue com azimute de 350°45'54" e distância de 103,08 m até o vértice **48-A**, de coordenadas N **9.663.969,559** m e E **825.939,237** m, segue com azimute de 348°00'36" e distância de 84,07 m até o vértice **48-B**, de coordenadas N **9.664.051,791** m e E **825.921,773** m, segue com azimute de 357°02'39" e distância de 71,30 m até o vértice **49**, de coordenadas N **9.664.122,998** m e E **825.918,096** m, segue com azimute de 11°39'07" e distância de 123,08 m até o vértice **49-A**, de coordenadas N **9.664.243,537** m e E **825.942,954** m, segue com azimute de 16°17'08" e distância de 101,48 m até o vértice **50**, de coordenadas N **9.664.340,945** m e E **825.971,411** m, segue com azimute de 18°50'13" e distância de 72,59 m até o vértice **51**, de coordenadas N **9.664.409,652** m e E **825.994,850** m, segue com azimute de 25°56'54" e distância de 212,95 m até o vértice **CJ-1**, de coordenadas N **9.664.601,132** m e E **826.088,028** m, segue com azimute de 25°56'54" e distância de 33,02 m até o vértice **52**, de coordenadas N **9.664.630,825** m e E **826.102,477** m, segue com azimute de 37°16'09" e distância de 29,87 m até o vértice **52-A**, de coordenadas N **9.664.654,595** m e E **826.120,565** m, segue com azimute de 43°14'56" e distância de 18,06 m até o vértice **53**, de coordenadas N **9.664.667,747** m e E **826.132,936** m, segue com azimute de 43°14'56" e distância de 115,78 m até o vértice **CJ-5**, de coordenadas N **9.664.752,081**

m e E 826.212,266 m, segue com azimute de 43°18'09" e distância de 50,75 m até o vértice M21A, de coordenadas N 9.664.789,013 m e E 826.247,072 m, segue com azimute de 43°12'32" e distância de 68,22 m até o vértice 52-D, de coordenadas N 9.664.838,735 m e E 826.293,779 m, segue com azimute de 46°21'22" e distância de 59,88 m até o vértice 54, de coordenadas N 9.664.880,061 m e E 826.337,109 m, segue com azimute de 46°21'22" e distância de 53,16 m até o vértice 55, de coordenadas N 9.664.916,750 m e E 826.375,577 m, segue com azimute de 64°09'12" e distância de 66,39 m até o vértice 56, de coordenadas N 9.664.945,693 m e E 826.435,322 m, segue com azimute de 77°48'58" e distância de 58,77 m até o vértice 57, de coordenadas N 9.664.958,096 m e E 826.492,770 m, segue com azimute de 88°39'07" e distância de 67,05 m até o vértice 57-A, de coordenadas N 9.664.959,674 m e E 826.559,806 m, segue com azimute de 89°09'45" e distância de 130,34 m até o vértice 58, de coordenadas N 9.664.961,579 m e E 826.690,130 m, segue com azimute de 83°26'38" e distância de 86,52 m até o vértice 59, de coordenadas N 9.664.971,457 m e E 826.776,082 m, segue com azimute de 77°59'46" e distância de 137,87 m até o vértice 58-A, de coordenadas N 9.665.000,132 m e E 826.910,938 m, segue com azimute de 79°56'30" e distância de 73,34 m até o vértice 60, de coordenadas N 9.665.012,940 m e E 826.983,148 m, segue com azimute de 79°15'30" e distância de 64,09 m até o vértice 61, de coordenadas N 9.665.024,884 m e E 827.046,110 m, segue com azimute de 70°16'28" e distância de 134,75 m até o vértice 62, de coordenadas N 9.665.070,365 m e E 827.172,954 m, segue com azimute de 46°24'42" e distância de 59,51 m até o vértice 62-A, de coordenadas N 9.665.111,397 m e E 827.216,060 m, segue com azimute de 35°12'05" e distância de 42,71 m até o vértice 63, de coordenadas N 9.665.146,299 m e E 827.240,681 m, segue com azimute de 18°20'06" e distância de 56,43 m até o vértice 64, de coordenadas N 9.665.199,867 m e E 827.258,434 m, segue com azimute de 2°50'07" e distância de 52,18 m até o vértice 65, de coordenadas N 9.665.251,988 m e E 827.261,015 m, segue com azimute de 357°56'00" e distância de 47,83 m até o vértice 66, de coordenadas N 9.665.299,783 m e E 827.259,290 m, segue com azimute de 338°11'32" e distância de 51,41 m até o vértice 0, de coordenadas N 9.665.347,517 m e E 827.240,191 m, segue com azimute de 332°38'59" e distância de 18,75 m até o vértice 0, de coordenadas N 9.665.364,174 m e E 827.231,575 m, segue com azimute de 334°12'23" e distância de 129,78 m até o vértice 68, de coordenadas N 9.665.481,026 m e E 827.175,103 m, segue com azimute de 334°14'07" e distância de 125,21 m até o vértice 69, de coordenadas N 9.665.593,784 m e E 827.120,679 m, segue com azimute de 94°45'34" e distância de 496,02 m até o vértice P-11, de coordenadas N 9.665.552,628 m e E 827.614,993 m, segue com azimute de 94°45'34" e distância de 29,20 m até o vértice 69-A, de coordenadas N 9.665.550,205 m e E 827.644,097 m, segue com azimute de 94°45'34" e distância de 328,26 m até o vértice 69-B, de coordenadas N 9.665.522,968 m e E 827.971,225 m, segue com azimute de 94°45'34" e distância de 265,39 m até o vértice 69-C, de coordenadas N 9.665.500,949 m e E 828.235,697 m, segue com azimute de 94°45'34" e distância de 62,87 m até o vértice 69-D, de coordenadas N 9.665.495,732 m e E 828.298,354 m, segue com azimute de 175°12'23" e distância de 39,73 m até o vértice 69-E, de coordenadas N 9.665.456,142 m e E 828.301,674 m, segue com azimute de 101°57'53" e distância de 60,67 m até o vértice 71-A, de coordenadas N 9.665.443,565 m e E 828.361,022 m, segue com azimute de 101°57'53" e distância de 69,45 m até o vértice 71-B, de coordenadas N 9.665.429,168 m e E 828.428,961 m, segue com azimute de 101°57'53" e distância de 559,53 m até o vértice 71-C, de coordenadas N 9.665.313,172 m e E 828.976,340 m, segue com azimute de 101°57'53" e distância de 402,16 m até o vértice 71-D, de coordenadas N 9.665.229,801 m e E 829.369,762 m, segue com azimute de 101°37'34" e distância de 44,49 m até o vértice 71-E, de coordenadas N 9.665.220,836 m e E 829.413,338 m, segue com azimute de 100°55'31" e distância de 301,14 m até o vértice 72, de coordenadas N 9.665.163,761 m e E 829.709,022 m, segue com azimute de 100°55'31" e distância de 254,39 m até o vértice 72-A, de coordenadas N 9.665.115,547 m e E 829.958,803 m, segue com azimute de 144°27'38" e distância de 99,98 m até o vértice 72-B, de coordenadas N 9.665.034,194 m e E 830.016,917 m, segue com azimute de 142°11'32" e distância de 153,03 m até o vértice 73, de coordenadas N 9.664.913,286 m e E 830.110,728 m, segue com azimute de 143°56'18" e distância de 189,31 m até o vértice 73-A, de coordenadas N 9.664.760,252 m e E 830.222,166 m, segue com azimute de 183°25'55" e distância de 195,88 m até o vértice 73-B, de coordenadas N

9.664.564,727 m e **E 830.210,440** m, segue com azimute de $122^{\circ}07'06''$ e distância de 155,19 m até o vértice **74-A**, de coordenadas **N 9.664.482,217** m e **E 830.341,879** m, segue com azimute de $124^{\circ}03'32''$ e distância de 107,43 m até o vértice **74-B**, de coordenadas **N 9.664.422,050** m e **E 830.430,883** m, segue com azimute de $116^{\circ}39'45''$ e distância de 181,83 m até o vértice **74-C**, de coordenadas **N 9.664.340,458** m e **E 830.593,376** m, segue com azimute de $109^{\circ}27'36''$ e distância de 265,32 m até o vértice **74-D**, de coordenadas **N 9.664.252,066** m e **E 830.843,539** m, segue com azimute de $100^{\circ}17'08''$ e distância de 145,84 m até o vértice **A-9**, de coordenadas **N 9.664.226,026** m e **E 830.987,035** m, segue com azimute de $107^{\circ}33'23''$ e distância de 44,65 m até o vértice **75**, de coordenadas **N 9.664.212,558** m e **E 831.029,603** m, segue com azimute de $107^{\circ}57'19''$ e distância de 99,97 m até o vértice **75-A**, de coordenadas **N 9.664.181,740** m e **E 831.124,704** m, segue com azimute de $110^{\circ}40'01''$ e distância de 15,52 m até o vértice **75-B**, de coordenadas **N 9.664.176,262** m e **E 831.139,227** m, segue com azimute de $120^{\circ}07'46''$ e distância de 35,45 m até o vértice **76**, de coordenadas **N 9.664.158,465** m e **E 831.169,892** m, segue com azimute de $235^{\circ}21'33''$ e distância de 12,12 m até o vértice **76-A**, de coordenadas **N 9.664.151,575** m e **E 831.159,920** m, segue com azimute de $235^{\circ}02'45''$ e distância de 23,35 m até o vértice **76-B**, de coordenadas **N 9.664.138,199** m e **E 831.140,784** m, segue com azimute de $234^{\circ}44'58''$ e distância de 14,17 m até o vértice **76-C**, de coordenadas **N 9.664.130,023** m e **E 831.129,216** m, segue com azimute de $235^{\circ}31'52''$ e distância de 53,34 m até o vértice **76-D**, de coordenadas **N 9.664.099,836** m e **E 831.085,243** m, segue com azimute de $237^{\circ}04'01''$ e distância de 40,81 m até o vértice **77**, de coordenadas **N 9.664.077,648** m e **E 831.050,988** m, segue com azimute de $237^{\circ}50'00''$ e distância de 77,69 m até o vértice **77-A**, de coordenadas **N 9.664.036,285** m e **E 830.985,220** m, segue com azimute de $197^{\circ}00'37''$ e distância de 17,01 m até o vértice **77-B**, de coordenadas **N 9.664.020,018** m e **E 830.980,244** m, segue com azimute de $230^{\circ}28'07''$ e distância de 33,38 m até o vértice **77-C**, de coordenadas **N 9.663.998,772** m e **E 830.954,499** m, segue com azimute de $229^{\circ}24'35''$ e distância de 46,91 m até o vértice **78**, de coordenadas **N 9.663.968,250** m e **E 830.918,876** m, segue com azimute de $223^{\circ}14'42''$ e distância de 48,06 m até o vértice **78-A**, de coordenadas **N 9.663.933,239** m e **E 830.885,947** m, segue com azimute de $218^{\circ}20'20''$ e distância de 56,46 m até o vértice **78-B**, de coordenadas **N 9.663.888,952** m e **E 830.850,923** m, segue com azimute de $213^{\circ}28'45''$ e distância de 45,54 m até o vértice **78-C**, de coordenadas **N 9.663.850,971** m e **E 830.825,803** m, segue com azimute de $209^{\circ}24'03''$ e distância de 68,32 m até o vértice **79**, de coordenadas **N 9.663.791,450** m e **E 830.792,263** m, segue com azimute de $207^{\circ}58'23''$ e distância de 167,39 m até o vértice **80**, de coordenadas **N 9.663.643,616** m e **E 830.713,748** m, segue com azimute de $193^{\circ}35'51''$ e distância de 54,03 m até o vértice **81**, de coordenadas **N 9.663.591,097** m e **E 830.701,045** m, segue com azimute de $187^{\circ}43'27''$ e distância de 57,52 m até o vértice **82**, de coordenadas **N 9.663.534,095** m e **E 830.693,313** m, segue com azimute de $181^{\circ}24'58''$ e distância de 67,85 m até o vértice **82-A**, de coordenadas **N 9.663.466,262** m e **E 830.691,636** m, segue com azimute de $176^{\circ}19'50''$ e distância de 102,75 m até o vértice **83**, de coordenadas **N 9.663.363,726** m e **E 830.698,212** m, segue com azimute de $173^{\circ}57'11''$ e distância de 192,18 m até o vértice **84**, de coordenadas **N 9.663.172,612** m e **E 830.718,458** m, segue com azimute de $175^{\circ}52'30''$ e distância de 117,76 m até o vértice **85**, de coordenadas **N 9.663.055,155** m e **E 830.726,929** m, segue com azimute de $182^{\circ}13'46''$ e distância de 52,93 m até o vértice **86**, de coordenadas **N 9.663.002,266** m e **E 830.724,870** m, segue com azimute de $197^{\circ}41'27''$ e distância de 19,26 m até o vértice **87**, de coordenadas **N 9.662.983,913** m e **E 830.719,016** m, segue com azimute de $201^{\circ}48'33''$ e distância de 31,13 m até o vértice **88**, de coordenadas **N 9.662.955,007** m e **E 830.707,449** m, segue com azimute de $209^{\circ}45'16''$ e distância de 32,27 m até o vértice **89**, de coordenadas **N 9.662.926,991** m e **E 830.691,433** m, segue com azimute de $211^{\circ}56'04''$ e distância de 44,03 m até o vértice **0**, de coordenadas **N 9.662.889,626** m e **E 830.668,144** m, que é o vértice inicial desta descrição. Fechando assim o perímetro acima descrito, abrangendo uma área de 13.298.916,92 m² (treze milhões, duzentos e noventa e oito mil, novecentos e dezesseis metros quadrados e noventa e dois decímetros quadrados) e um perímetro de 16.540,49 m (dezesseis mil, quinhentos e quarenta metros e quarenta e nove centímetros).

III - CONSIDERAÇÕES ADICIONAIS

III.1 - Os instrumentos utilizados no trabalho de campo foram os, GPS GEODÉSICO modelo PROMARK 500, marca ASTECH e a estação total modelo R-315 NX marca PENTAX.

III.2 - As coordenadas Plano Retangulares UTM são baseadas no Sistema de Referência Brasileiro, calculadas a partir do Software Posição e os azimutes e distâncias são mensurados tomando como base o Norte da Quadrícula.

NOTA: O presente memorial descritivo foi elaborado com base em planta de levantamento topográfico local nº **AM.003/XXX/2019/67290**, da qual passa a fazer parte integrante.

Manaus/AM, 11 de dezembro de 2019.

PATRICK ALMEIDA CARVALHO 1º Ten Eng AGM
RESPONSÁVEL TÉCNICO
CREA – 041264307-3
Nº ART



MINISTÉRIO DA DEFESA
COMANDO DA AERONÁUTICA
DIRETORIA DE INFRAESTRUTURA DA AERONÁUTICA

MEMORIAL DESCRIPTIVO Nº 11/2019

Imóvel: Aeroporto Internacional Eduardo Gomes (vários Tombos).

Proprietário: União Federal - administrado pelo Comando da Aeronáutica.

Município: Manaus

UF: AM

Área real: 12.857.990,02 m²

Perímetro real: 18.640,08 m

I - OBJETO

Memorial descritivo da poligonal principal, que define o perímetro da **ÁREA CIVIL I**, referente a Proposta de Zoneamento Civil-Militar do Aeroporto Internacional Eduardo Gomes, situado na Av. do Turismo, Tarumã-Manaus/AM.

II - DESCRIÇÃO DA POLIGONAL

Inicia-se a descrição deste perímetro no vértice **0**, de coordenadas N **9.662.889,626** m e E **830.668,144** m. Do vértice **0**, segue com azimute de 265°13'31" e distância de 130,09 m até o vértice **C-1**, de coordenadas N **9.662.878,798** m e E **830.538,507** m, segue com azimute de 265°36'52" e distância de 217,68 m até o vértice **C-2**, de coordenadas N **9.662.862,151** m e E **830.321,459** m, segue com azimute de 265°21'00" e distância de 130,79 m até o vértice **C-3**, de coordenadas N **9.662.851,548** m e E **830.191,097** m, segue com azimute de 264°11'10" e distância de 227,91 m até o vértice **C-4**, de coordenadas N **9.662.828,462** m e E **829.964,364** m, segue com azimute de 262°38'03" e distância de 209,68 m até o vértice **B**, de coordenadas N **9.662.801,580** m e E **829.756,413** m, segue com azimute de 264°13'42" e distância de 1.500,00 m até o vértice **A**, de coordenadas N **9.662.650,735** m e E **828.264,017** m, segue com azimute de 265°17'33" e distância de 212,18 m até o vértice **1**, de coordenadas N **9.662.633,322** m e E **828.052,554** m, segue com azimute de 186°28'35" e distância de 222,25 m até o vértice **1-A**, de coordenadas N **9.662.412,492** m e E **828.027,486** m, segue com azimute de 187°19'23" e distância de 249,94 m até o vértice **2**, de coordenadas N **9.662.164,594** m e E **827.995,628** m, segue com azimute de 259°03'40" e distância de 520,60 m até o vértice **3**, de coordenadas N **9.662.065,805** m e E **827.484,491** m, segue com azimute de 184°03'04" e distância de 199,97 m até o vértice **4**, de coordenadas N **9.661.866,332** m e E **827.470,364** m, segue com azimute de 284°45'58" e distância de 40,57 m até o vértice **4-A**, de coordenadas N **9.661.876,673** m e E **827.431,132** m, segue com azimute de 280°26'07" e distância de 23,67 m até o vértice **4-B**, de coordenadas N **9.661.880,960** m e E **827.407,855** m, segue com azimute de 283°27'35" e distância de 32,38 m até o vértice **4-C**, de coordenadas N **9.661.888,496** m e E **827.376,367** m, segue com azimute de 299°53'03" e distância de 19,68 m até o vértice **5**, de coordenadas N **9.661.898,302** m e E **827.359,302** m, segue com azimute de 307°58'33" e distância

de 27,09 m até o vértice **5-A**, de coordenadas N **9.661.914,973** m e E **827.337,946** m, segue com azimute de $305^{\circ}51'56''$ e distância de 18,06 m até o vértice **5-B**, de coordenadas N **9.661.925,555** m e E **827.323,308** m, segue com azimute de $301^{\circ}43'54''$ e distância de 23,43 m até o vértice **6**, de coordenadas N **9.661.937,879** m e E **827.303,378** m, segue com azimute de $297^{\circ}08'02''$ e distância de 25,96 m até o vértice **6-A**, de coordenadas N **9.661.949,717** m e E **827.280,279** m, segue com azimute de $286^{\circ}51'03''$ e distância de 23,69 m até o vértice **7**, de coordenadas N **9.661.956,584** m e E **827.257,609** m, segue com azimute de $270^{\circ}25'24''$ e distância de 31,53 m até o vértice **7-A**, de coordenadas N **9.661.956,817** m e E **827.226,079** m, segue com azimute de $273^{\circ}35'43''$ e distância de 26,68 m até o vértice **8**, de coordenadas N **9.661.958,490** m e E **827.199,454** m, segue com azimute de $281^{\circ}01'15''$ e distância de 45,93 m até o vértice **8-A**, de coordenadas N **9.661.967,270** m e E **827.154,372** m, segue com azimute de $283^{\circ}11'38''$ e distância de 45,58 m até o vértice **9**, de coordenadas N **9.661.977,673** m e E **827.109,996** m, segue com azimute de $261^{\circ}16'32''$ e distância de 29,15 m até o vértice **10**, de coordenadas N **9.661.973,251** m e E **827.081,180** m, segue com azimute de $285^{\circ}37'43''$ e distância de 14,50 m até o vértice **10-A**, de coordenadas N **9.661.977,158** m e E **827.067,213** m, segue com azimute de $296^{\circ}50'06''$ e distância de 22,20 m até o vértice **10-B**, de coordenadas N **9.661.987,179** m e E **827.047,406** m, segue com azimute de $310^{\circ}41'31''$ e distância de 36,58 m até o vértice **11**, de coordenadas N **9.662.011,030** m e E **827.019,668** m, segue com azimute de $306^{\circ}16'16''$ e distância de 12,45 m até o vértice **11-A**, de coordenadas N **9.662.018,396** m e E **827.009,631** m, segue com azimute de $293^{\circ}41'12''$ e distância de 10,03 m até o vértice **12**, de coordenadas N **9.662.022,424** m e E **827.000,447** m, segue com azimute de $270^{\circ}05'20''$ e distância de 40,69 m até o vértice **12-A**, de coordenadas N **9.662.022,487** m e E **826.959,755** m, segue com azimute de $260^{\circ}19'08''$ e distância de 16,33 m até o vértice **13**, de coordenadas N **9.662.019,741** m e E **826.943,654** m, segue com azimute de $254^{\circ}19'31''$ e distância de 38,25 m até o vértice **13-A**, de coordenadas N **9.662.009,408** m e E **826.906,830** m, segue com azimute de $253^{\circ}07'01''$ e distância de 18,66 m até o vértice **13-B**, de coordenadas N **9.662.003,989** m e E **826.888,976** m, segue com azimute de $280^{\circ}21'58''$ e distância de 8,69 m até o vértice **14**, de coordenadas N **9.662.005,552** m e E **826.880,433** m, segue com azimute de $331^{\circ}43'27''$ e distância de 50,30 m até o vértice **15**, de coordenadas N **9.662.049,852** m e E **826.856,604** m, segue com azimute de $280^{\circ}28'20''$ e distância de 65,86 m até o vértice **16**, de coordenadas N **9.662.061,822** m e E **826.791,844** m, segue com azimute de $277^{\circ}37'06''$ e distância de 44,96 m até o vértice **17**, de coordenadas N **9.662.067,782** m e E **826.747,284** m, segue com azimute de $262^{\circ}45'32''$ e distância de 77,35 m até o vértice **17-A**, de coordenadas N **9.662.058,032** m e E **826.670,548** m, segue com azimute de $277^{\circ}36'32''$ e distância de 35,57 m até o vértice **18**, de coordenadas N **9.662.062,741** m e E **826.635,297** m, segue com azimute de $324^{\circ}05'48''$ e distância de 10,11 m até o vértice **19**, de coordenadas N **9.662.070,929** m e E **826.629,368** m, segue com azimute de $20^{\circ}50'32''$ e distância de 23,25 m até o vértice **19-A**, de coordenadas N **9.662.092,658** m e E **826.637,641** m, segue com azimute de $358^{\circ}38'30''$ e distância de 12,13 m até o vértice **19-B**, de coordenadas N **9.662.104,783** m e E **826.637,353** m, segue com azimute de $338^{\circ}41'41''$ e distância de 21,15 m até o vértice **19-C**, de coordenadas N **9.662.124,484** m e E **826.629,670** m, segue com azimute de $3^{\circ}20'18''$ e distância de 41,08 m até o vértice **20**, de coordenadas N **9.662.165,496** m e E **826.632,062** m, segue com azimute de $323^{\circ}44'45''$ e distância de 16,06 m até o vértice **20-A**, de coordenadas N **9.662.178,447** m e E **826.622,565** m, segue com azimute de $291^{\circ}43'55''$ e distância de 29,02 m até o vértice **20-B**, de coordenadas N **9.662.189,192** m e E **826.595,608** m, segue com azimute de $273^{\circ}21'24''$ e distância de 30,44 m até o vértice **21**, de coordenadas N **9.662.190,974** m e E **826.565,224** m, segue com azimute de $261^{\circ}13'44''$ e distância de 13,69 m até o vértice **21-A**, de coordenadas N **9.662.188,886** m e E **826.551,689** m, segue com azimute de $235^{\circ}24'05''$ e distância de 30,48 m até o vértice **21-B**, de coordenadas N **9.662.171,578** m e E **826.526,599** m, segue com azimute de $242^{\circ}04'25''$ e distância de 41,09 m até o vértice **22**, de coordenadas N **9.662.152,334** m e E **826.490,293** m, segue com azimute de $250^{\circ}44'07''$ e distância de 34,07 m até o vértice **23**, de coordenadas N **9.662.141,093** m e E **826.458,131** m, segue com azimute de $264^{\circ}43'11''$ e distância de 23,77 m até o vértice **23-A**, de coordenadas N **9.662.138,905** m e E **826.434,460** m, segue com azimute de $302^{\circ}06'58''$ e distância de 73,76 m até o vértice **24**, de coordenadas N **9.662.178,121** m e E **826.371,985** m, segue com azimute de $297^{\circ}46'51''$ e distância de 161,07 m até o vértice **25**, de coordenadas N **9.662.253,192** m e E **826.229,484** m, segue com

azimute de $303^{\circ}15'36''$ e distância de 103,84 m até o vértice **26**, de coordenadas N **9.662.310,142** m e E **826.142,654** m, segue com azimute de $298^{\circ}27'40''$ e distância de 166,80 m até o vértice **26-A**, de coordenadas N **9.662.389,632** m e E **825.996,014** m, segue com azimute de $305^{\circ}30'08''$ e distância de 65,95 m até o vértice **26-B**, de coordenadas N **9.662.427,932** m e E **825.942,324** m, segue com azimute de $313^{\circ}22'59''$ e distância de 129,81 m até o vértice **27**, de coordenadas N **9.662.517,092** m e E **825.847,984** m, segue com azimute de $277^{\circ}15'15''$ e distância de 117,21 m até o vértice **28**, de coordenadas N **9.662.531,892** m e E **825.731,714** m, segue com azimute de $293^{\circ}16'25''$ e distância de 118,39 m até o vértice **28-A**, de coordenadas N **9.662.578,672** m e E **825.622,954** m, segue com azimute de $321^{\circ}49'37''$ e distância de 43,55 m até o vértice **29**, de coordenadas N **9.662.612,907** m e E **825.596,039** m, segue com azimute de $322^{\circ}12'48''$ e distância de 43,87 m até o vértice **30**, de coordenadas N **9.662.647,574** m e E **825.569,161** m, segue com azimute de $294^{\circ}01'05''$ e distância de 39,39 m até o vértice **31**, de coordenadas N **9.662.663,608** m e E **825.533,180** m, segue com azimute de $260^{\circ}46'05''$ e distância de 54,02 m até o vértice **32**, de coordenadas N **9.662.654,941** m e E **825.479,858** m, segue com azimute de $231^{\circ}00'13''$ e distância de 55,78 m até o vértice **33**, de coordenadas N **9.662.619,841** m e E **825.436,507** m, segue com azimute de $262^{\circ}17'44''$ e distância de 58,18 m até o vértice **34**, de coordenadas N **9.662.612,041** m e E **825.378,850** m, segue com azimute de $275^{\circ}03'42''$ e distância de 68,76 m até o vértice **35**, de coordenadas N **9.662.618,107** m e E **825.310,356** m, segue com azimute de $308^{\circ}29'40''$ e distância de 49,72 m até o vértice **36**, de coordenadas N **9.662.649,057** m e E **825.271,438** m, segue com azimute de $353^{\circ}14'11''$ e distância de 48,69 m até o vértice **37**, de coordenadas N **9.662.697,409** m e E **825.265,704** m, segue com azimute de $340^{\circ}38'43''$ e distância de 25,00 m até o vértice **38**, de coordenadas N **9.662.720,992** m e E **825.257,420** m, segue com azimute de $3^{\circ}10'03''$ e distância de 43,72 m até o vértice **39**, de coordenadas N **9.662.764,646** m e E **825.259,836** m, segue com azimute de $358^{\circ}28'44''$ e distância de 25,59 m até o vértice **40**, de coordenadas N **9.662.790,225** m e E **825.259,157** m, segue com azimute de $352^{\circ}48'26''$ e distância de 25,85 m até o vértice **41**, de coordenadas N **9.662.815,867** m e E **825.255,920** m, segue com azimute de $10^{\circ}09'39''$ e distância de 32,00 m até o vértice **42**, de coordenadas N **9.662.847,365** m e E **825.261,566** m, segue com azimute de $8^{\circ}41'14''$ e distância de 98,11 m até o vértice **43**, de coordenadas N **9.662.944,347** m e E **825.276,384** m, segue com azimute de $8^{\circ}13'48''$ e distância de 31,53 m até o vértice **44**, de coordenadas N **9.662.975,550** m e E **825.280,897** m, segue com azimute de $18^{\circ}58'06''$ e distância de 23,81 m até o vértice **45**, de coordenadas N **9.662.998,072** m e E **825.288,638** m, segue com azimute de $39^{\circ}02'07''$ e distância de 224,70 m até o vértice **CJ-6**, de coordenadas N **9.663.172,612** m e E **825.430,156** m, segue com azimute de $39^{\circ}02'07''$ e distância de 311,32 m até o vértice **A1**, de coordenadas N **9.663.414,429** m e E **825.626,223** m, segue com azimute de $39^{\circ}23'59''$ e distância de 444,64 m até o vértice **46**, de coordenadas N **9.663.758,016** m e E **825.908,444** m, segue com azimute de $34^{\circ}50'41''$ e distância de 71,31 m até o vértice **47**, de coordenadas N **9.663.816,541** m e E **825.949,187** m, segue com azimute de $7^{\circ}19'39''$ e distância de 51,69 m até o vértice **48**, de coordenadas N **9.663.867,812** m e E **825.955,780** m, segue com azimute de $350^{\circ}45'54''$ e distância de 103,08 m até o vértice **48-A**, de coordenadas N **9.663.969,559** m e E **825.939,237** m, segue com azimute de $348^{\circ}00'36''$ e distância de 84,07 m até o vértice **48-B**, de coordenadas N **9.664.051,791** m e E **825.921,773** m, segue com azimute de $357^{\circ}02'39''$ e distância de 71,30 m até o vértice **49**, de coordenadas N **9.664.122,998** m e E **825.918,096** m, segue com azimute de $11^{\circ}39'07''$ e distância de 123,08 m até o vértice **49-A**, de coordenadas N **9.664.243,537** m e E **825.942,954** m, segue com azimute de $16^{\circ}17'08''$ e distância de 101,48 m até o vértice **50**, de coordenadas N **9.664.340,945** m e E **825.971,411** m, segue com azimute de $18^{\circ}50'13''$ e distância de 72,59 m até o vértice **51**, de coordenadas N **9.664.409,652** m e E **825.994,850** m, segue com azimute de $25^{\circ}56'54''$ e distância de 212,95 m até o vértice **CJ-1**, de coordenadas N **9.664.601,132** m e E **826.088,028** m, segue com azimute de $123^{\circ}53'53''$ e distância de 800,00 m até o vértice **CJ-2**, de coordenadas N **9.664.154,960** m e E **826.752,054** m, segue com azimute de $39^{\circ}17'32''$ e distância de 100,60 m até o vértice **CJ-3**, de coordenadas N **9.664.232,819** m e E **826.815,763** m, segue com azimute de $39^{\circ}17'32''$ e distância de 100,60 m até o vértice **CJ-4**, de coordenadas N **9.664.310,677** m e E **826.879,472** m, segue com azimute de $303^{\circ}29'15''$ e distância de 800,00 m até o vértice **CJ-5**, de coordenadas N **9.664.752,081** m e E **826.212,266** m, segue com azimute de $43^{\circ}18'09''$ e distância de 50,75 m até o vértice **M21A**, de coordenadas N **9.664.789,013**

m e E 826.247,072 m, segue com azimute de 43°12'32" e distância de 68,22 m até o vértice 52-D, de coordenadas N 9.664.838,735 m e E 826.293,779 m, segue com azimute de 46°21'22" e distância de 59,88 m até o vértice 54, de coordenadas N 9.664.880,061 m e E 826.337,109 m, segue com azimute de 46°21'22" e distância de 53,16 m até o vértice 55, de coordenadas N 9.664.916,750 m e E 826.375,577 m, segue com azimute de 64°09'12" e distância de 66,39 m até o vértice 56, de coordenadas N 9.664.945,693 m e E 826.435,322 m, segue com azimute de 77°48'58" e distância de 58,77 m até o vértice 57, de coordenadas N 9.664.958,096 m e E 826.492,770 m, segue com azimute de 88°39'07" e distância de 67,05 m até o vértice 57-A, de coordenadas N 9.664.959,674 m e E 826.559,806 m, segue com azimute de 89°09'45" e distância de 130,34 m até o vértice 58, de coordenadas N 9.664.961,579 m e E 826.690,130 m, segue com azimute de 83°26'38" e distância de 86,52 m até o vértice 59, de coordenadas N 9.664.971,457 m e E 826.776,082 m, segue com azimute de 77°59'46" e distância de 137,87 m até o vértice 58-A, de coordenadas N 9.665.000,132 m e E 826.910,938 m, segue com azimute de 79°56'30" e distância de 73,34 m até o vértice 60, de coordenadas N 9.665.012,940 m e E 826.983,148 m, segue com azimute de 79°15'30" e distância de 64,09 m até o vértice 61, de coordenadas N 9.665.024,884 m e E 827.046,110 m, segue com azimute de 70°16'28" e distância de 134,75 m até o vértice 62, de coordenadas N 9.665.070,365 m e E 827.172,954 m, segue com azimute de 46°24'42" e distância de 59,51 m até o vértice 62-A, de coordenadas N 9.665.111,397 m e E 827.216,060 m, segue com azimute de 137°09'52" e distância de 32,27 m até o vértice P-23, de coordenadas N 9.665.087,736 m e E 827.237,997 m, segue com azimute de 125°34'47" e distância de 55,44 m até o vértice P-22, de coordenadas N 9.665.055,480 m e E 827.283,085 m, segue com azimute de 120°14'03" e distância de 124,84 m até o vértice P-21, de coordenadas N 9.664.992,617 m e E 827.390,947 m, segue com azimute de 120°14'03" e distância de 63,01 m até o vértice P-20, de coordenadas N 9.664.960,890 m e E 827.445,385 m, segue com azimute de 120°14'03" e distância de 62,73 m até o vértice P-19, de coordenadas N 9.664.929,305 m e E 827.499,579 m, segue com azimute de 116°25'33" e distância de 63,97 m até o vértice P-18, de coordenadas N 9.664.900,835 m e E 827.556,866 m, segue com azimute de 116°41'11" e distância de 21,34 m até o vértice P-17, de coordenadas N 9.664.891,249 m e E 827.575,937 m, segue com azimute de 116°44'17" e distância de 73,14 m até o vértice P-16, de coordenadas N 9.664.858,343 m e E 827.641,255 m, segue com azimute de 343°29'37" e distância de 164,30 m até o vértice P-15, de coordenadas N 9.665.015,877 m e E 827.594,572 m, segue com azimute de 91°55'42" e distância de 159,98 m até o vértice P-14, de coordenadas N 9.665.010,494 m e E 827.754,461 m, segue com azimute de 2°01'33" e distância de 326,47 m até o vértice P-13, de coordenadas N 9.665.336,764 m e E 827.766,002 m, segue com azimute de 272°56'10" e distância de 160,10 m até o vértice P-12, de coordenadas N 9.665.344,964 m e E 827.606,111 m, segue com azimute de 2°26'56" e distância de 207,85 m até o vértice P-11, de coordenadas N 9.665.552,628 m e E 827.614,993 m, segue com azimute de 94°45'34" e distância de 29,20 m até o vértice 69-A, de coordenadas N 9.665.550,205 m e E 827.644,097 m, segue com azimute de 94°45'34" e distância de 328,26 m até o vértice 69-B, de coordenadas N 9.665.522,968 m e E 827.971,225 m, segue com azimute de 94°45'34" e distância de 265,39 m até o vértice 69-C, de coordenadas N 9.665.500,949 m e E 828.235,697 m, segue com azimute de 94°45'34" e distância de 62,87 m até o vértice 69-D, de coordenadas N 9.665.495,732 m e E 828.298,354 m, segue com azimute de 175°12'23" e distância de 39,73 m até o vértice 69-E, de coordenadas N 9.665.456,142 m e E 828.301,674 m, segue com azimute de 101°57'53" e distância de 60,67 m até o vértice 71-A, de coordenadas N 9.665.443,565 m e E 828.361,022 m, segue com azimute de 101°57'53" e distância de 69,45 m até o vértice 71-B, de coordenadas N 9.665.429,168 m e E 828.428,961 m, segue com azimute de 101°57'53" e distância de 559,53 m até o vértice 71-C, de coordenadas N 9.665.313,172 m e E 828.976,340 m, segue com azimute de 101°57'53" e distância de 402,16 m até o vértice 71-D, de coordenadas N 9.665.229,801 m e E 829.369,762 m, segue com azimute de 101°37'34" e distância de 44,49 m até o vértice 71-E, de coordenadas N 9.665.220,836 m e E 829.413,338 m, segue com azimute de 100°55'31" e distância de 301,14 m até o vértice 72, de coordenadas N 9.665.163,761 m e E 829.709,022 m, segue com azimute de 100°55'31" e distância de 254,39 m até o vértice 72-A, de coordenadas N 9.665.115,547 m e E 829.958,803 m, segue com azimute de 144°27'38" e distância de 99,98 m até o vértice 72-B, de coordenadas N 9.665.034,194 m e E 830.016,917 m, segue com azimute de 142°11'32" e distância de 153,03 m até o vértice 73, de

coordenadas N **9.664.913,286** m e E **830.110,728** m, segue com azimute de 143°56'18" e distância de 189,31 m até o vértice **73-A**, de coordenadas N **9.664.760,252** m e E **830.222,166** m, segue com azimute de 183°25'55" e distância de 195,88 m até o vértice **73-B**, de coordenadas N **9.664.564,727** m e E **830.210,440** m, segue com azimute de 122°07'06" e distância de 155,19 m até o vértice **74-A**, de coordenadas N **9.664.482,217** m e E **830.341,879** m, segue com azimute de 124°03'32" e distância de 107,43 m até o vértice **74-B**, de coordenadas N **9.664.422,050** m e E **830.430,883** m, segue com azimute de 116°39'45" e distância de 181,83 m até o vértice **74-C**, de coordenadas N **9.664.340,458** m e E **830.593,376** m, segue com azimute de 109°27'36" e distância de 265,32 m até o vértice **74-D**, de coordenadas N **9.664.252,066** m e E **830.843,539** m, segue com azimute de 100°17'08" e distância de 145,84 m até o vértice **A-9**, de coordenadas N **9.664.226,026** m e E **830.987,035** m, segue com azimute de 107°33'23" e distância de 44,65 m até o vértice **75**, de coordenadas N **9.664.212,558** m e E **831.029,603** m, segue com azimute de 107°57'19" e distância de 99,97 m até o vértice **75-A**, de coordenadas N **9.664.181,740** m e E **831.124,704** m, segue com azimute de 110°40'01" e distância de 15,52 m até o vértice **75-B**, de coordenadas N **9.664.176,262** m e E **831.139,227** m, segue com azimute de 120°07'46" e distância de 35,45 m até o vértice **76**, de coordenadas N **9.664.158,465** m e E **831.169,892** m, segue com azimute de 235°21'33" e distância de 12,12 m até o vértice **76-A**, de coordenadas N **9.664.151,575** m e E **831.159,920** m, segue com azimute de 235°02'45" e distância de 23,35 m até o vértice **76-B**, de coordenadas N **9.664.138,199** m e E **831.140,784** m, segue com azimute de 234°44'58" e distância de 14,17 m até o vértice **76-C**, de coordenadas N **9.664.130,023** m e E **831.129,216** m, segue com azimute de 235°31'52" e distância de 53,34 m até o vértice **76-D**, de coordenadas N **9.664.099,836** m e E **831.085,243** m, segue com azimute de 237°04'01" e distância de 40,81 m até o vértice **77**, de coordenadas N **9.664.077,648** m e E **831.050,988** m, segue com azimute de 237°50'00" e distância de 77,69 m até o vértice **77-A**, de coordenadas N **9.664.036,285** m e E **830.985,220** m, segue com azimute de 197°00'37" e distância de 17,01 m até o vértice **77-B**, de coordenadas N **9.664.020,018** m e E **830.980,244** m, segue com azimute de 230°28'07" e distância de 33,38 m até o vértice **77-C**, de coordenadas N **9.663.998,772** m e E **830.954,499** m, segue com azimute de 229°24'35" e distância de 46,91 m até o vértice **78**, de coordenadas N **9.663.968,250** m e E **830.918,876** m, segue com azimute de 223°14'42" e distância de 48,06 m até o vértice **78-A**, de coordenadas N **9.663.933,239** m e E **830.885,947** m, segue com azimute de 218°20'20" e distância de 56,46 m até o vértice **78-B**, de coordenadas N **9.663.888,952** m e E **830.850,923** m, segue com azimute de 213°28'45" e distância de 45,54 m até o vértice **78-C**, de coordenadas N **9.663.850,971** m e E **830.825,803** m, segue com azimute de 209°24'03" e distância de 68,32 m até o vértice **79**, de coordenadas N **9.663.791,450** m e E **830.792,263** m, segue com azimute de 207°58'23" e distância de 167,39 m até o vértice **80**, de coordenadas N **9.663.643,616** m e E **830.713,748** m, segue com azimute de 193°35'51" e distância de 54,03 m até o vértice **81**, de coordenadas N **9.663.591,097** m e E **830.701,045** m, segue com azimute de 187°43'27" e distância de 57,52 m até o vértice **82**, de coordenadas N **9.663.534,095** m e E **830.693,313** m, segue com azimute de 181°24'58" e distância de 67,85 m até o vértice **82-A**, de coordenadas N **9.663.466,262** m e E **830.691,636** m, segue com azimute de 176°19'50" e distância de 102,75 m até o vértice **83**, de coordenadas N **9.663.363,726** m e E **830.698,212** m, segue com azimute de 173°57'11" e distância de 192,18 m até o vértice **84**, de coordenadas N **9.663.172,612** m e E **830.718,458** m, segue com azimute de 175°52'30" e distância de 117,76 m até o vértice **85**, de coordenadas N **9.663.055,155** m e E **830.726,929** m, segue com azimute de 182°13'46" e distância de 52,93 m até o vértice **86**, de coordenadas N **9.663.002,266** m e E **830.724,870** m, segue com azimute de 197°41'27" e distância de 19,26 m até o vértice **87**, de coordenadas N **9.662.983,913** m e E **830.719,016** m, segue com azimute de 201°48'33" e distância de 31,13 m até o vértice **88**, de coordenadas N **9.662.955,007** m e E **830.707,449** m, segue com azimute de 209°45'16" e distância de 32,27 m até o vértice **89**, de coordenadas N **9.662.926,991** m e E **830.691,433** m, segue com azimute de 211°56'04" e distância de 44,03 m até o vértice **0**, de coordenadas N **9.662.889,626** m e E **830.668,144** m, que é o vértice inicial desta descrição. Fechando assim o perímetro acima descrito, abrangendo uma área de 12.857.990,02 m² (doze milhões, oitocentos e cinquenta e sete mil, novecentos e noventa metros quadrados e dois decímetros quadrados) e um perímetro de 18.640,08 m (dezoito mil metros e seiscentos e quarenta metros e oito centímetros).

III - CONSIDERAÇÕES ADICIONAIS

III.1 - Os instrumentos utilizados no trabalho de campo foram os, GPS GEODÉSICO modelo PROMARK 500, marca ASTECH e a estação total modelo R-315 NX marca PENTAX.

III.2 - As coordenadas Plano Retangulares UTM são baseadas no Sistema de Referência Brasileiro, calculadas a partir do Software Posição e os azimutes e distâncias são mensurados tomando como base o Norte da Quadrícula.

NOTA: O presente memorial descritivo foi elaborado com base em planta de levantamento topográfico local nº **AM.003/XXX/2019/67290**, da qual passa a fazer parte integrante.

Manaus/AM, 11 de dezembro de 2019.

PATRICK ALMEIDA CARVALHO 1º Ten Eng AGM
RESPONSÁVEL TÉCNICO
CREA – 041264307-3
Nº ART



**MINISTÉRIO DA DEFESA
COMANDO DA AERONÁUTICA
DIRETORIA DE INFRAESTRUTURA DA AERONÁUTICA**

MEMORIAL DESCRIPTIVO Nº 12/2019

Imóvel: Aeroporto Internacional Eduardo Gomes (vários Tombos).

Proprietário: União Federal - administrado pelo Comando da Aeronáutica.

Município: Manaus

UF: AM

Área real: 310.750,00 m²

Perímetro real: 2.455,81 m

I - OBJETO

Memorial descritivo da poligonal principal, que define o perímetro da **ÁREA CIVIL II**, referente a Proposta de Zoneamento Civil-Militar do Aeroporto Internacional Eduardo Gomes, situado na Av. do Turismo, Tarumã-Manaus/AM.

II - DESCRIÇÃO DA POLIGONAL

Inicia-se a descrição deste perímetro no vértice **F-01**, de coordenadas **N 9.663.859,877 m e E 825.911,098 m**. Do vértice **F-01**, segue com azimute de 199°39'39" e distância de 86,01 m até o vértice **F-02**, de coordenadas **N 9.663.778,885 m e E 825.882,161 m**, segue com azimute de 219°14'01" e distância de 297,85 m até o vértice **F-03**, de coordenadas **N 9.663.548,180 m e E 825.693,776 m**, segue com azimute de 233°51'47" e distância de 105,12 m até o vértice **A-I**, de coordenadas **N 9.663.486,191 m e E 825.608,882 m**, segue com azimute de 219°51'40" e distância de 35,33 m até o vértice **A-I-M**, de coordenadas **N 9.663.459,070 m e E 825.586,237 m**, segue com azimute de 270°00'00" e distância de 624,16 m até o vértice **II**, de coordenadas **N 9.663.459,070 m e E 824.962,077 m**, segue com azimute de 6°21'24" e distância de 402,41 m até o vértice **III**, de coordenadas **N 9.663.859,006 m e E 825.006,630 m**, segue com azimute de 91°12'41" e distância de 610,00 m até o vértice **A-II**, de coordenadas **N 9.663.846,110 m e E 825.616,494 m**, segue com azimute de 87°19'28" e distância de 294,93 m até o vértice **F-01**, de coordenadas **N 9.663.859,877 m e E 825.911,098 m**, que é o vértice inicial desta descrição. Fechando assim o perímetro acima descrito, abrangendo uma área de 310.750,00 m² (trezentos e dez mil, setecentos e cinquenta metros quadrados) e um perímetro de 2.455,81 m (dois mil, quatrocentos e cinquenta e cinco metros e oitenta e um centímetros).

III - CONSIDERAÇÕES ADICIONAIS

III.1 - Os instrumentos utilizados no trabalho de campo foram os, GPS GEODÉSICO modelo PROMARK 500, marca ASTECH e a estação total modelo R-315 NX marca PENTAX.

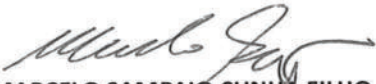
III.2 - As coordenadas Plano Retangulares UTM são baseadas no Sistema de Referência Brasileiro, calculadas a partir do Software Posição e os azimutes e distâncias são mensurados tomando como base o Norte da Quadrícula.

NOTA: O presente memorial descritivo foi elaborado com base em planta de levantamento topográfico local nº **AM.003/XXX/2019/67290**, da qual passa a fazer parte integrante.

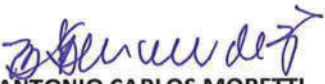
Manaus/AM, 11 de dezembro de 2019.

PATRICK ALMEIDA **CARVALHO** 1º Ten Eng AGM
RESPONSÁVEL TÉCNICO
CREA – 041264307-3
Nº ART

Art. 5º Esta Portaria entra em vigor na data de sua publicação no Diário Oficial da União (DOU), ficando a cargo do MINFRA essa providência.



MARCELO SAMPAIO CUNHA FILHO
Secretário-Executivo
Ministério da Infraestrutura



Ten Brig Ar ANTONIO CARLOS MORETTI
BERMUDEZ
Comandante da Aeronáutica



MINISTÉRIO DA INFRAESTRUTURA
SECRETARIA EXECUTIVA

PORTRARIA CONJUNTA Nº 15, DE 05 DE OUTUBRO DE 2020

Aprova o Zoneamento Civil – Militar do Sítio Aeroportuário Eduardo Gomes/Manaus - AM (SBEG).

O SECRETÁRIO-EXECUTIVO do MINISTÉRIO DA INFRAESTRUTURA e o COMANDANTE DA AERONÁUTICA, no uso de suas atribuições, e considerando o disposto no art. 35, parágrafo único, inciso IX da Lei nº 13.844, de 18 de junho de 2019, no art. 33 da Lei nº 7.565, de 19 de dezembro de 1986, no Decreto nº 6.834, de 30 de abril de 2009, no Decreto nº 10.368, de 22 de maio de 2020, no art. 2º da Portaria Normativa Interministerial nº 24, de 21 de janeiro de 2014, na Portaria Conjunta SAC-MTPA/COMAER nº 6, de 5 de setembro de 2018, alterada pela Portaria COMAER/DECEA nº 77, de 31 de maio de 2019, e no que consta nos processos SAC-MINFRA e COMAER, ambos de nº 50000.009010/2020-31, resolvem:

Art. 1º Aprovar o Plano de Zoneamento Civil-Militar (PZCM) do Sítio Aeroportuário Eduardo Gomes/Manaus (SBEG), localizado no Município de Manaus-AM, que define como área civil 13.154.263,74 m² (treze milhões, cento e cinquenta e quatro mil, duzentos e sessenta e três vírgula setenta e quatro metros quadrados) e como área militar a remanescente, conforme delimitados nos memoriais descritivos e na planta, anexos aos processos supramencionados, os quais integram esta Portaria para todos os efeitos.

Art. 2º A transferência patrimonial da área civil para o Ministério da Infraestrutura (MINFRA) será efetivada oportunamente pela Secretaria de Coordenação e Governança do Patrimônio da União (SPU), do Ministério da Economia (ME).

Art. 3º As áreas classificadas como especiais sujeitam-se ao disposto na Portaria Conjunta nº 6, de 5 de setembro de 2018, alterada pela Portaria COMAER/DECEA nº 77, de 31 de maio de 2019, que dispõe sobre as diretrizes para identificação e classificação de áreas utilizadas por instalações e equipamentos do SISCEAB nos aeródromos civis públicos.

Art. 4º Em caso de operações militares de aeronaves em configurações que não possam ser comportadas no Aeródromo de Ponta Pelada (SBMN) devido à restrições técnicas da capacidade instalada, o Concessionário do Aeroporto de Manaus (SBEG) deverá, excepcionalmente, viabilizar o uso da infraestrutura aeroportuária existente no referido aeródromo, em coordenação com o COMAER, para a realização das operações.

§1º Deverão constar em edital e no contrato de concessão do referido aeroporto as cláusulas com as condições para as operações militares, a serem acordadas entre a SAC/MINFRA e o COMAER/MD.

§2º As cláusulas citadas no parágrafo anterior deverão ser revistas a cada nova concessão do referido aeroporto.



MINISTÉRIO DA DEFESA
COMANDO DA AERONÁUTICA
DIRETORIA DE INFRAESTRUTURA DA AERONÁUTICA

MEMORIAL DESCRIPTIVO Nº 13/2019

Imóvel: Aeroporto Internacional Eduardo Gomes (vários Tombos).

Proprietário: União Federal - administrado pelo Comando da Aeronáutica.

Município: Manaus

UF: AM

Área real: 282.062,99 m²

Perímetro real: 2.535,76 m

I - OBJETO

Memorial descritivo da poligonal que define o perímetro de **ÁREA DO CINDACTA IV**, referente a Proposta de Zoneamento Civil-Militar do Aeroporto Internacional Eduardo Gomes, situado na Av. do Turismo, Tarumã-Manaus/AM.

II - DESCRIÇÃO DA POLIGONAL

Inicia-se a descrição deste perímetro no vértice **62-A**, de coordenadas N **9.665.111,397** m e E **827.216,060** m. Do vértice **62-A**, segue com azimute de 35°12'05" e distância de 42,71 m até o vértice **63**, de coordenadas N **9.665.146,299** m e E **827.240,681** m, segue com azimute de 18°20'06" e distância de 56,43 m até o vértice **64**, de coordenadas N **9.665.199,867** m e E **827.258,434** m, segue com azimute de 2°50'07" e distância de 52,18 m até o vértice **65**, de coordenadas N **9.665.251,988** m e E **827.261,015** m, segue com azimute de 357°56'00" e distância de 47,83 m até o vértice **66**, de coordenadas N **9.665.299,783** m e E **827.259,290** m, segue com azimute de 338°11'29" e distância de 51,41 m até o vértice **67**, de coordenadas N **9.665.347,517** m e E **827.240,190** m, segue com azimute de 332°39'00" e distância de 18,75 m até o vértice **67-A**, de coordenadas N **9.665.364,173** m e E **827.231,575** m, segue com azimute de 334°12'24" e distância de 129,78 m até o vértice **68**, de coordenadas N **9.665.481,026** m e E **827.175,103** m, segue com azimute de 334°14'07" e distância de 125,21 m até o vértice **69**, de coordenadas N **9.665.593,784** m e E **827.120,679** m, segue com azimute de 94°45'34" e distância de 496,02 m até o vértice **P-11**, de coordenadas N **9.665.552,628** m e E **827.614,993** m, segue com azimute de 182°26'56" e distância de 207,85 m até o vértice **P-12**, de coordenadas N **9.665.344,964** m e E **827.606,111** m, segue com azimute de 92°56'10" e distância de 160,10 m até o vértice **P-13**, de coordenadas N **9.665.336,764** m e E **827.766,002** m, segue com azimute de 182°01'33" e distância de 326,47 m até o vértice **P-14**, de coordenadas N **9.665.010,494** m e E **827.754,461** m, segue com azimute de 271°55'42" e distância de 159,98 m até o vértice **P-15**, de coordenadas N **9.665.015,877** m e E **827.594,572** m, segue com azimute de 163°29'37" e distância de 164,30 m até o vértice **P-16**, de coordenadas N **9.664.858,343** m e E **827.641,255** m, segue com azimute de 296°44'17" e distância de 73,14 m até o vértice **P-17**, de coordenadas N **9.664.891,249** m e E **827.575,937** m, segue com azimute de

296°41'11" e distância de 21,34 m até o vértice **P-18**, de coordenadas **N 9.664.900,835 m e E 827.556,866 m**, segue com azimute de 296°25'33" e distância de 63,97 m até o vértice **P-19**, de coordenadas **N 9.664.929,305 m e E 827.499,579 m**, segue com azimute de 300°14'03" e distância de 62,73 m até o vértice **P-20**, de coordenadas **N 9.664.960,890 m e E 827.445,385 m**, segue com azimute de 300°14'03" e distância de 63,01 m até o vértice **P-21**, de coordenadas **N 9.664.992,617 m e E 827.390,947 m**, segue com azimute de 300°14'03" e distância de 124,84 m até o vértice **P-22**, de coordenadas **N 9.665.055,480 m e E 827.283,085 m**, segue com azimute de 305°34'47" e distância de 55,44 m até o vértice **P-23**, de coordenadas **N 9.665.087,736 m e E 827.237,997 m**, segue com azimute de 317°09'52" e distância de 32,27 m até o vértice **62-A**, de coordenadas **N 9.665.111,397 m e E 827.216,060 m**, que é o vértice inicial desta descrição. Fechando assim o perímetro acima descrito, abrangendo uma área de 282.062,99 m² (duzentos e oitenta e dois mil, sessenta e dois metros quadrados e noventa e nove decímetros quadrados) e um perímetro de 2.535,76 m (dois mil, quinhentos e trinta e cinco metros e setenta e seis centímetros).

III - CONSIDERAÇÕES ADICIONAIS

III.1 - Os instrumentos utilizados no trabalho de campo foram os, GPS GEODÉSICO modelo PROMARK 500, marca ASTECH e a estação total modelo R-315 NX marca PENTAX.

III.2 - As coordenadas Plano Retangulares UTM são baseadas no Sistema de Referência Brasileiro, calculadas a partir do Software Posição e os azimutes e distâncias são mensurados tomando como base o Norte da Quadrícula.

NOTA: O presente memorial descritivo foi elaborado com base em planta de levantamento topográfico local nº **AM.003/XXX/2019/67290**, da qual passa a fazer parte integrante.

Manaus/AM, 11 de dezembro de 2019.

PATRICK ALMEIDA **CARVALHO** 1º Ten Eng AGM
RESPONSÁVEL TÉCNICO
CREA – 041264307-3
Nº ART



**MINISTÉRIO DA DEFESA
COMANDO DA AERONÁUTICA
DIRETORIA DE INFRAESTRUTURA DA AERONÁUTICA**

MEMORIAL DESCRIPTIVO Nº 14/2019

Imóvel: Aeroporto Internacional Eduardo Gomes (vários Tombos).

Proprietário: União Federal - administrado pelo Comando da Aeronáutica.

Município: Manaus

UF: AM

Área real: 14.476,28 m²

Perímetro real: 522,54 m

I - OBJETO

Memorial descritivo da poligonal que define o perímetro de **ÁREA DO SIAT/SERIPA**, referente a Proposta de Zoneamento Civil-Militar do Aeroporto Internacional Eduardo Gomes, situado na Av. do Turismo, Tarumã-Manaus/AM.

II - DESCRIÇÃO DA POLIGONAL

Inicia-se a descrição deste perímetro no vértice **P01**, de coordenadas N **9.664.289,325** m e E **829.924,670** m. Do vértice **P01**, segue com azimute de 0°21'29" e distância de 35,85 m até o vértice **P02**, de coordenadas N **9.664.325,178** m e E **829.924,894** m, segue com azimute de 9°57'17" e distância de 32,96 m até o vértice **P03**, de coordenadas N **9.664.357,637** m e E **829.930,591** m, segue com azimute de 94°46'59" e distância de 73,66 m até o vértice **P04**, de coordenadas N **9.664.351,495** m e E **830.003,998** m, segue com azimute de 182°26'47" e distância de 130,77 m até o vértice **P05**, de coordenadas N **9.664.220,844** m e E **829.998,416** m, segue com azimute de 197°14'42" e distância de 64,87 m até o vértice **P06**, de coordenadas N **9.664.158,893** m e E **829.979,185** m, segue com azimute de 280°26'49" e distância de 65,46 m até o vértice **P07**, de coordenadas N **9.664.170,763** m e E **829.914,809** m, segue com azimute de 4°27'14" e distância de 83,90 m até o vértice **P08**, de coordenadas N **9.664.254,415** m e E **829.921,325** m, segue com azimute de 5°28'23" e distância de 29,36 m até o vértice **P09**, de coordenadas N **9.664.283,638** m e E **829.924,125** m, segue com azimute de 5°28'23" e distância de 5,71 m até o vértice **P01**, de coordenadas N **9.664.289,325** m e E **829.924,670** m, que é o vértice inicial desta descrição. Fechando assim o perímetro acima descrito, abrangendo uma área de 14.476,28 m² (quatorze mil, quatrocentos e setenta e seis metros quadrados e vinte e oito decímetros quadrados) e um perímetro de 522,54 m (quinhentos e vinte e dois metros e cinquenta e quatro centímetros).

III - CONSIDERAÇÕES ADICIONAIS

III.1 - Os instrumentos utilizados no trabalho de campo foram os, GPS GEODÉSICO modelo PROMARK 500, marca ASTECH e a estação total modelo R-315 NX marca PENTAX.

III.2 - As coordenadas Plano Retangulares UTM são baseadas no Sistema de Referência Brasileiro, calculadas a partir do Software Posição e os azimutes e distâncias são mensurados tomando como base o Norte da Quadrícula.

NOTA: O presente memorial descritivo foi elaborado com base em planta de levantamento topográfico local nº **AM.003/XXX/2019/67290**, da qual passa a fazer parte integrante.

Manaus/AM, 11 de dezembro de 2019.

PATRICK ALMEIDA **CARVALHO** 1º Ten Eng AGM
RESPONSÁVEL TÉCNICO
CREA – 041264307-3
Nº ART



MINISTÉRIO DA DEFESA
COMANDO DA AERONÁUTICA
DIRETORIA DE INFRAESTRUTURA DA AERONÁUTICA

MEMORIAL DESCRIPTIVO Nº 15/2019

Imóvel: Aeroporto Internacional Eduardo Gomes (vários Tombos).

Proprietário: União Federal - administrado pelo Comando da Aeronáutica.

Município: Manaus

UF: AM

Área real: 158.864,01m²

Perímetro real: 1.997,93 m

I - OBJETO

Memorial descritivo da poligonal que define o perímetro de **ÁREA DO CLUBE DE CAMPO JIBÓIA**, referente a Proposta de Zoneamento Civil-Militar do Aeroporto Internacional Eduardo Gomes, situado na Av. do Turismo, Tarumã-Manaus/AM.

II - DESCRIÇÃO DA POLIGONAL

Inicia-se a descrição deste perímetro no vértice **CJ-1**, de coordenadas N **9.664.601,132** m e E **826.088,028** m. Do vértice **CJ-1**, segue com azimute de 25°56'54" e distância de 33,02 m até o vértice **52**, de coordenadas N **9.664.630,825** m e E **826.102,477** m, segue com azimute de 37°16'09" e distância de 29,87 m até o vértice **52-A**, de coordenadas N **9.664.654,595** m e E **826.120,565** m, segue com azimute de 43°14'56" e distância de 18,06 m até o vértice **53**, de coordenadas N **9.664.667,747** m e E **826.132,936** m, segue com azimute de 43°14'56" e distância de 115,78 m até o vértice **CJ-5**, de coordenadas N **9.664.752,081** m e E **826.212,266** m, segue com azimute de 123°29'15" e distância de 800,00 m até o vértice **CJ-4**, de coordenadas N **9.664.310,677** m e E **826.879,472** m, segue com azimute de 219°17'32" e distância de 100,60 m até o vértice **CJ-3**, de coordenadas N **9.664.232,819** m e E **826.815,763** m, segue com azimute de 219°17'32" e distância de 100,60 m até o vértice **CJ-2**, de coordenadas N **9.664.154,960** m e E **826.752,054** m, segue com azimute de 303°53'53" e distância de 800,00 m até o vértice **CJ-1**, de coordenadas N **9.664.601,132** m e E **826.088,028** m, que é o vértice inicial desta descrição. Fechando assim o perímetro acima descrito, abrangendo uma área de 158.864,01 m² (cento e cinquenta e oito mil, oitocentos e sessenta e quatro metros quadrados e um decímetro quadrado) e um perímetro de 1.997,93 m (um mil, novecentos e noventa e sete metros e noventa e três centímetros).

III - CONSIDERAÇÕES ADICIONAIS

III.1 - Os instrumentos utilizados no trabalho de campo foram os, GPS GEODÉSICO modelo PROMARK 500, marca ASTECH e a estação total modelo R-315 NX marca PENTAX.

III.2 - As coordenadas Plano Retangulares UTM são baseadas no Sistema de Referência Brasileiro, calculadas a partir do Software Posição e os azimutes e distâncias são mensurados tomando como base o Norte da Quadrícula.

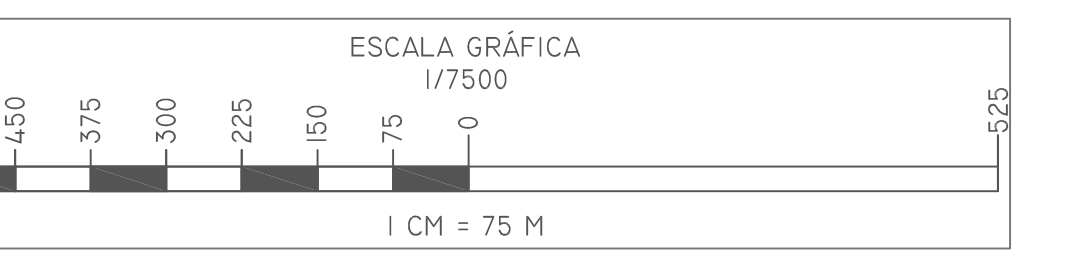
NOTA: O presente memorial descritivo foi elaborado com base em planta de levantamento topográfico local nº **AM.003/XXX/2019/67290**, da qual passa a fazer parte integrante.

Manaus/AM, 11 de dezembro de 2019.

PATRICK ALMEIDA CARVALHO 1º Ten Eng AGM
RESPONSÁVEL TÉCNICO
CREA – 041264307-3
Nº ART

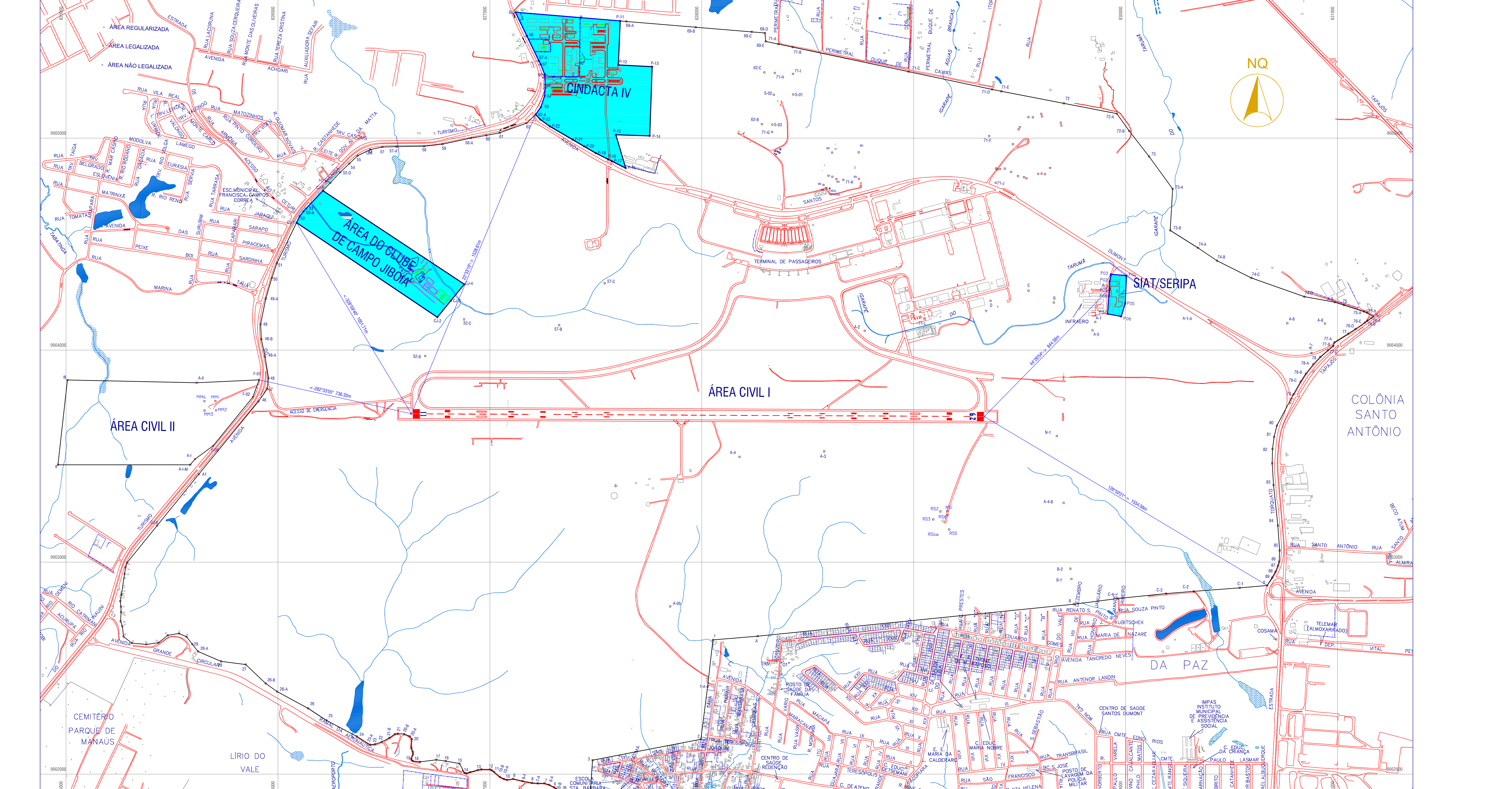
PROJEÇÃO UNIVERSAL TRANSVERSA DE MERCATOR		VÉRTICE DE REFERÊNCIA CABECEIRA-11	
DATUM SIRGAS2000	NM	LATITUDE: 03°02'18.8401"S	LONGITUDE: 60°03'42.6440"W
		JAN/2004	DECLINAÇÃO MAGNETICA (DM) 14°09'
			VARIAÇÃO ANUAL 08"
			CONVERGÊNCIA MERIDIANA (CM) -09.21.1865"
MERIDIANO CENTRAL	FATOR DE ESCALA	63°W	1.0009208897
FUSO		20 M	

ORIGEM DAS COORDENADAS:
INSTITUTO DE CARTOGRAFIA AERONÁUTICA - ICA - (DADOS DA CABECEIRA 11 DE 01/2004)



LEGENDA:

- ÁREA MILITAR
- ÁREA CIVIL



ÁREA TOTAL (MEMORIAL DESCRIPTIVO Nº 102019) - PARTE 1 ÁREA TOTAL (MEMORIAL DESCRIPTIVO Nº 102019) - PARTE 2 ÁREA TOTAL (MEMORIAL DESCRIPTIVO Nº 102019) - PARTE 3 ÁREA CIVIL I - MEMORIAL DESCRIPTIVO Nº 112019 - PARTE 1 ÁREA CIVIL I - MEMORIAL DESCRIPTIVO Nº 112019 - PARTE 2 ÁREA CIVIL I - MEMORIAL DESCRIPTIVO Nº 112019 - PARTE 3 ÁREA DO CINDACTA IV - MEMORIAL DESCRIPTIVO Nº 132019

Estação	Vante	Coord. Norte	Coord. Este	Azimute	Distância	Estação	Vante	Coord. Norte	Coord. Este	Azimute	Distância	Estação	Vante	Coord. Norte	Coord. Este	Azimute	Distância	Estação	Vante	Coord. Norte	Coord. Este	Azimute	Distância	Estação	Vante	Coord. Norte	Coord. Este	Azimute	Distância
0	C-1	9.662.889.626	830.668.144	265°13'11"	130.090	29	0	9.662.612.907	828.976.349	322°12'40"	43.870	71-C	0	9.665.311.172	828.076.349	101°57'53"	402.160	69-D	69-E	9.665.312.907	828.298.354	179°12'23"	99.730	62-A	63	9.665.111.397	827.216.060	35°12'05"	42.710
C-2	9.662.876.789	830.538.507	265°36'52"	217.680	30	31	9.662.647.572	825.569.161	294°01'05"	39.390	71-D	0	9.665.229.803	829.369.762	101°37'34"	44.490	69-E	69-F	9.665.247.572	825.569.161	294°01'05"	39.390	62-B	64	9.665.146.299	827.240.681	35°20'06"	56.430	
C-3	9.662.862.151	830.321.459	265°21'00"	130.790	31	32	9.662.654.941	825.533.968	231°00'13"	55.780	71-E	0	9.665.220.838	829.413.338	100°59'53"	301.140	69-F	69-G	9.665.243.958	825.479.858	231°01'13"	55.780	62-C	65	9.665.199.867	827.258.434	2°50'07"	52.180	
C-4	9.662.851.546	830.191.097	264°11'10"	227.910	32	33	9.662.654.941	825.436.507	262°17'47"	58.180	72-A	0	9.665.115.547	829.958.803	104°27'38"	99.980	71-C	0	9.665.113.172	829.958.803	101°57'53"	402.160	65	66	9.665.251.988	827.611.960	35°19'00"	47.830	
B	9.662.826.462	829.964.364	262°38'03"	209.680	34	35	9.662.612.041	825.738.860	270°03'42"	68.760	72-B	0	9.665.034.194	820.016.917	142°11'32"	152.030	66	67	9.665.229.783	827.559.290	338°11'29"	51.410	62-C	67	9.665.199.867	827.258.434	2°50'07"	52.180	
B	9.662.826.462	829.964.364	262°38'03"	209.680	36	37	9.662.649.057	825.229.559	252°21'11"	49.680	72-C	0	9.665.070.252	820.222.160	129°25'55"	155.900	71-D	0	9.665.061.371	820.211.439	131°41'11"	49.680	62-B	68	9.665.245.173	824.231.427	129.700	129.700	
B	9.662.826.462	829.964.364	262°38'03"	209.680	38	39	9.662.697.409	825.205.704	340°28'45"	25.000	72-D	0	9.664.564.727	820.211.440	122°07'05"	155.190	71-E	0	9.665.220.838	829.958.803	104°27'38"	99.980	62-C	69	9.665.199.867	827.258.434	2°50'07"	52.180	
B	9.662.826.462	829.964.364	262°38'03"	209.680	40	41	9.662.764.546	825.259.628	359°28'44"	25.590	72-E	0	9.664.622.050	825.303.083	259°03'40"	25.590	71-F	0	9.665.220.838	829.958.803	104°27'38"	99.980	62-D	70	9.665.251.988	827.611.960	35°19'00"	47.830	
B	9.662.826.462	829.964.364	262°38'03"	209.680	42	43	9.662.815.867	825.256.688	10°09'39"	32.000	72-F	0	9.665.034.194	820.222.160	142°11'32"	152.030	71-G	0	9.665.034.194	820.222.160	142°11'32"	152.030	62-E	71	9.665.199.867	827.258.434	2°50'07"	52.180	
B	9.662.826.462	829.964.364	262°38'03"	209.680	44	45	9.662.844.212	825.256.688	10°09'39"	32.000	72-G	0	9.665.070.252	820.222.160	129°25'55"	155.900	71-H	0	9.665.070.252	820.222.160	129°25'55"	155.900	62-D	72	9.665.199.867	827.258.434	2°50'07"	52.180	
B	9.662.826.462	829.964.364	262°38'03"	209.680	46	47	9.662.844.212	825.256.688	10°09'39"	32.000	72-H	0	9.665.070.252	820.222.160	129°25'55"	155.900	71-I	0	9.665.070.252	820.222.160	129°25'55"	155.900	62-C	73	9.665.199.867	827.258.434	2°50'07"	52.180	
B	9.662.826.462	829.964.364	262°38'03"	209.680	48	49	9.662.844.212	825.256.688	350°45'52"	108.810	72-I	0	9.665.070.252	820.222.160	129°25'55"	155.900	71-J	0	9.665.070.252	820.222.160	129°25'55"	155.900	62-B	74	9.665.199.867	827.258.434	2°50'07"	52.180	
B	9.662.826.462	829.964.364	262°38'03"	209.680	50	51	9.662.844.212	825.256.688	10°09'39"	32.000	72-K	0	9.665.070.252	820.222.160	129°25'55"	155.900	71-L	0	9.665.070.252	820.222.160	129°25'55"	155.900	62-D	75	9.665.199.867	827.258.434	2°50'07"	52.180	
B	9.662.826.462	829.964.364	262°38'03"	209.680	52	53	9.662.844.212	825.256.688	10°09'39"	32.000	72-M	0	9.665.070.252	820.222.160	129°25'55"	155.900	71-N	0	9.665.070.252	820.222.160	129°25'55"	155.900	62-C	76	9.665.199.867	827.258.434	2°50'07"	52.180	
B	9.662.826.462	829.964.364	262°38'03"	209.680	54	55	9.662.844.212	825.256.688	10°09'39"	32.000	72-O	0	9.665.070.252	820.222.160	129°25'55"	155.900	71-P	0	9.665.070.252	820.222.160	129°25'55"	155.900	62-B	77	9.665.199.867	827.258.434	2°50'07"	52.180	
B	9.662.826.462	829.964.364	262°38'03"	209.680	56	57	9.662.844.212	825.256.688	10°09'39"	32.000	72-Q	0	9.665.070.252	820.222.160	129°25'55"	155.900	71-R	0	9.665.070.252	820.222.160	129°25'55"	155.900	62-D						

PORTARIA CONJUNTA Nº 15, DE 5 DE OUTUBRO DE 2020

Aprova o Zoneamento Civil - Militar do Sítio Aeroportuário Eduardo Gomes/Manaus - AM (SBEG).

O SECRETÁRIO-EXECUTIVO do MINISTÉRIO DA INFRAESTRUTURA e o COMANDANTE DA AERONÁUTICA, no uso de suas atribuições, e considerando o disposto no art. 35, parágrafo único, inciso IX da Lei nº 13.844, de 18 de junho de 2019, no art. 33 da Lei nº 7.565, de 19 de dezembro de 1986, no Decreto nº 6.834, de 30 de abril de 2009, no Decreto nº 10.368, de 22 de maio de 2020, no art. 2º da Portaria Normativa Interministerial nº 24, de 21 de janeiro de 2014, na Portaria Conjunta SAC-MTPA/COMAER nº 6, de 5 de setembro de 2018, alterada pela Portaria COMAER/DECEA nº 77, de 31 de maio de 2019, e no que consta nos processos SAC-MINFRA e COMAER, ambos de nº 50000.009010/2020-31, resolvem:

Art. 1º Aprovar o Plano de Zoneamento Civil-Militar (PZCM) do Sítio Aeroportuário Eduardo Gomes/Manaus (SBEG), localizado no Município de Manaus-AM, que define como área civil 13.154.263,74 m² (treze milhões, cento e cinquenta e quatro mil, duzentos e sessenta e três vírgula setenta e quatro metros quadrados) e como área militar a remanescente, conforme delimitados nos memoriais descritivos e na planta, anexos aos processos supramencionados, os quais integram esta Portaria para todos os efeitos.

Art. 2º A transferência patrimonial da área civil para o Ministério da Infraestrutura (MINFRA) será efetivada oportunamente pela Secretaria de Coordenação e Governança do Patrimônio da União (SPU), do Ministério da Economia (ME).

Art. 3º As áreas classificadas como especiais sujeitam-se ao disposto na Portaria Conjunta nº 6, de 5 de setembro de 2018, alterada pela Portaria COMAER/DECEA nº 77, de 31 de maio de 2019, que dispõe sobre as diretrizes para identificação e classificação de áreas utilizadas por instalações e equipamentos do SISCEAB nos aeródromos civis públicos.

Art. 4º Em caso de operações militares de aeronaves em configurações que não possam ser comportadas no Aeródromo de Ponta Pelada (SBMN) devido à restrições técnicas da capacidade instalada, o Concessionário do Aeroporto de Manaus (SBEG) deverá, excepcionalmente, viabilizar o uso da infraestrutura aeroportuária existente no referido aeródromo, em coordenação com o COMAER, para a realização das operações.

§1º Deverão constar em edital e no contrato de concessão do referido aeroporto as cláusulas com as condições para as operações militares, a serem acordadas entre a SAC/MINFRA e o COMAER/MD.

§2º As cláusulas citadas no parágrafo anterior deverão ser revistas a cada nova concessão do referido aeroporto.

Art. 5º Esta Portaria entra em vigor na data de sua publicação no Diário Oficial da União (DOU), ficando a cargo do MINFRA essa providência.

MARCELO SAMPAIO CUNHA FILHO
Secretário-Executivo - Ministério da Infraestrutura

Ten Brig Ar ANTONIO CARLOS MORETTI BERMUDEZ
Comandante da Aeronáutica

PORTARIA CONJUNTA Nº 16, DE 5 DE OUTUBRO DE 2020

Aprova o Zoneamento Civil - Militar do Sítio Aeroportuário de Porto Velho - RO (SBPV).

O SECRETÁRIO-EXECUTIVO do MINISTÉRIO DA INFRAESTRUTURA e o COMANDANTE DA AERONÁUTICA, no uso de suas atribuições, e considerando o disposto no art. 35, parágrafo único, inciso IX da Lei nº 13.844, de 18 de junho de 2019, no art. 33 da Lei nº 7.565, de 19 de dezembro de 1986, no Decreto nº 6.834, de 30 de abril de 2009, no Decreto nº 10.368, de 22 de maio de 2020, na Portaria Normativa Interministerial nº 24, de 21 de janeiro de 2014, na Portaria Conjunta SAC-MTPA/COMAER nº 6, de 5 de setembro de 2018, alterada pela Portaria COMAER/DECEA nº 77, de 31 de maio de 2019, e no que consta nos processos SAC-MINFRA e COMAER, ambos de nº 50000.054210/2019-12, resolvem:

Art. 1º Aprovar o Plano de Zoneamento Civil-Militar (PZCM) do Sítio Aeroportuário de Porto Velho (SBPV), localizado no Município de Porto Velho-RO, que define como área civil 5.733.380,91 m² (cinco milhões, setecentos e trinta e três mil, trezentos e oitenta vírgula noventa e um metros quadrados), e como área militar a remanescente, conforme delimitado nos memoriais descritivos e na planta, que integram esta Portaria para todos os efeitos.

Art. 2º A transferência patrimonial da área civil para o Ministério da Infraestrutura (MINFRA) será efetivada oportunamente pela Secretaria de Coordenação e Governança do Patrimônio da União (SCGPU), do Ministério da Economia (ME).

Art. 3º As áreas classificadas como especiais sujeitam-se ao disposto na Portaria Conjunta nº 6, de 5 de setembro de 2018, alterada pela Portaria COMAER/DECEA nº 77, de 31 de maio de 2019, que dispõe sobre as diretrizes para identificação e classificação de áreas utilizadas por instalações e equipamentos do SISCEAB nos aeródromos civis públicos.

Art. 4º Fica revogada a Portaria EMAER nº R-001/1SC4, de 21 de fevereiro de 1989, e demais disposições em contrário.

Art. 5º Esta Portaria entra em vigor na data de sua publicação no Diário Oficial da União (DOU), ficando a cargo da SAC-MINFRA essa providência.

MARCELO SAMPAIO CUNHA FILHO
Secretário-Executivo - Ministério da Infraestrutura

Ten Brig Ar ANTONIO CARLOS MORETTI BERMUDEZ
Comandante da Aeronáutica

PORTARIA CONJUNTA Nº 17, DE 5 DE OUTUBRO DE 2020

Aprova o Novo Zoneamento Civil-Militar do Sítio Aeroportuário do Aeroporto do Rio de Janeiro/Santos Dumont (SBRJ).

O SECRETÁRIO-EXECUTIVO do MINISTÉRIO DA INFRAESTRUTURA e o COMANDANTE DA AERONÁUTICA, no uso de suas atribuições, e considerando o disposto no art. 35, parágrafo único, inciso IX da Lei nº 13.844, de 18 de junho de 2019, no art. 33 da Lei nº 7.565, de 19 de dezembro de 1986, no Decreto nº 6.834, de 30 de abril de 2009, no Decreto nº 10.368, de 22 de maio de 2020, na Portaria Normativa Interministerial nº 24, de 21 de janeiro de 2014, na Portaria Conjunta SAC-MTPA/COMAER nº 6, de 5 de setembro de 2018, alterada pela Portaria COMAER/DECEA nº 77, de 31 de maio de 2019, e no que consta nos processos SAC-MINFRA e COMAER, ambos de nº 50000.046388/2018-09, resolvem:

Art. 1º Aprovar o Novo Plano de Zoneamento Civil-Militar (PZCM) do Sítio Aeroportuário do Aeroporto do Rio de Janeiro/Santos Dumont (SBRJ), localizado no Município do Rio de Janeiro, que define como área civil 737.344,86 m² (setecentos e trinta e sete mil, trezentos e quarenta e quatro metros quadrados e oitenta e seis decímetros quadrados) e como área militar 84.377,49 m² (oitenta e quatro mil, trezentos e setenta e sete metros quadrados e quarenta e nove decímetros quadrados), delimitadas nos memoriais descritivos e na planta, anexos aos processos supramencionados.

Art. 2º A transferência da jurisdição patrimonial de toda a área civil do Sítio Aeroportuário do Aeroporto do Rio de Janeiro/Santos Dumont (SBRJ), do Comando da Aeronáutica (COMAER) para o Ministério da Infraestrutura (MINFRA), será efetivada oportunamente pela Secretaria de Coordenação e Governança do Patrimônio da União (SPU), do Ministério da Economia (ME).

Art. 3º As áreas classificadas como especiais sujeitam-se ao disposto na Portaria Conjunta nº 6, de 5 de setembro de 2018, alterada pela Portaria COMAER/DECEA nº 77, de 31 de maio de 2019, que dispõe sobre as diretrizes para identificação e classificação de

áreas utilizadas por instalações e equipamentos do Sistema de Controle do Espaço Aéreo Brasileiro (SISCEAB) nos aeródromos civis públicos.

Art. 4º O Operador Aeroportuário deverá observar as seguintes limitações na área civil, disposta no art. 1º e demarcadas no pátio de aeronaves da planta anexa, nos seguintes termos:

I - na área denominada Pátio de Uso Prioritariamente Militar, com a dimensão de 7.364,10 m², será garantido o uso prioritário para aeronaves militares; e

II - nas áreas denominadas de Uso Condicionado Norte, com dimensão de 361,49 m², e Uso Condicionado Sul, com dimensão de 285,90 m², será respeitada a restrição de altura, quando da instalação de equipamentos, para garantir a visibilidade operacional para as aeronaves do Grupo Especial de Inspeção em Voo.

Art. 5º Fica revogada a Portaria nº 132-GM4 de 14 de setembro de 1978, e demais disposições em contrário.

Art. 6º Esta Portaria entra em vigor na data de sua publicação no Diário Oficial da União (DOU), ficando a cargo do Ministério da Infraestrutura esta providência.

MARCELO SAMPAIO CUNHA FILHO
Secretário-Executivo - Ministério da Infraestrutura

Ten Brig Ar ANTONIO CARLOS MORETTI BERMUDEZ
Comandante da Aeronáutica

PORTARIA CONJUNTA Nº 18, DE 5 DE OUTUBRO DE 2020

Aprova o Zoneamento Civil - Militar do Sítio Aeroportuário Marechal Cunha Machado/São Luís - MA (SBSL).

O SECRETÁRIO-EXECUTIVO do MINISTÉRIO DA INFRAESTRUTURA e o COMANDANTE DA AERONÁUTICA, no uso de suas atribuições, e considerando o disposto no art. 35, parágrafo único, inciso IX da Lei nº 13.844, de 18 de junho de 2019, no art. 33 da Lei nº 7.565, de 19 de dezembro de 1986, no Decreto nº 6.834, de 30 de abril de 2009, no Decreto nº 10.368, de 22 de maio de 2020, no art. 2º da Portaria Normativa Interministerial nº 24, de 21 de janeiro de 2014, na Portaria Conjunta SAC-MTPA/COMAER nº 6, de 5 de setembro de 2018, alterada pela Portaria COMAER/DECEA nº 77, de 31 de maio de 2019, e no que consta nos processos SAC-MINFRA e COMAER, ambos de nº 50000.004297/2020-11, resolvem:

Art. 1º Aprovar o Plano de Zoneamento Civil-Militar (PZCM) do Sítio Aeroportuário Marechal Cunha Machado/São Luís (SBSL), localizado no Município de São Luís-MA, que define como área civil 5.556.222,22 m² (cinco milhões, quinhentos e cinquenta e seis mil, duzentos e vinte e dois vírgula vinte e dois metros quadrados) e como área militar a remanescente, conforme delimitados em planta e memoriais descritivos, anexos aos processos supramencionados, os quais integram esta Portaria para todos os efeitos.

Art. 2º A transferência patrimonial da área civil para o Ministério da Infraestrutura (MINFRA) será efetivada oportunamente pela Secretaria de Coordenação e Governança do Patrimônio da União (SPU), do Ministério da Economia (ME).

Art. 3º As áreas classificadas como especiais sujeitam-se ao disposto na Portaria Conjunta nº 6, de 5 de setembro de 2018, alterada pela Portaria COMAER/DECEA nº 77, de 31 de maio de 2019, que dispõe sobre as diretrizes para identificação e classificação de áreas utilizadas por instalações e equipamentos do Sistema de Controle do Espaço Aéreo Brasileiro (SISCEAB) nos aeródromos civis públicos.

Art. 4º Esta Portaria entra em vigor na data de sua publicação no Diário Oficial da União (DOU), ficando a cargo do MINFRA essa providência.

MARCELO SAMPAIO CUNHA FILHO
Secretário-Executivo - Ministério da Infraestrutura

Ten Brig Ar ANTONIO CARLOS MORETTI BERMUDEZ
Comandante da Aeronáutica

PORTARIA CONJUNTA Nº 19, DE 5 DE OUTUBRO DE 2020

Aprova o Zoneamento Civil - Militar do Sítio Aeroportuário de Teresina - PI (SBTE).

O SECRETÁRIO-EXECUTIVO do MINISTÉRIO DA INFRAESTRUTURA e o COMANDANTE DA AERONÁUTICA, no uso de suas atribuições, e considerando o disposto no art. 35, parágrafo único, inciso IX da Lei nº 13.844, de 18 de junho de 2019, no art. 33 da Lei nº 7.565, de 19 de dezembro de 1986, no Decreto nº 6.834, de 30 de abril de 2009, no Decreto nº 10.368, de 22 de maio de 2020, no art. 2º da Portaria Normativa Interministerial nº 24, de 21 de janeiro de 2014, na Portaria Conjunta SAC-MTPA/COMAER nº 6, de 5 de setembro de 2018, alterada pela Portaria COMAER/DECEA nº 77, de 31 de maio de 2019, e no que consta nos processos SAC-MINFRA e COMAER, ambos de nº 00055.002040/2015-45, resolvem:

Art. 1º Aprovar o Plano de Zoneamento Civil-Militar (PZCM) do Sítio Aeroportuário de Teresina (SBTE), localizado no Município de Teresina - Piauí, que define como área civil 1.281.678,20 m² (um milhão, duzentos e oitenta e um mil, seiscentos e setenta e oito vírgula vinte metros quadrados) e como área militar a remanescente, conforme delimitados na planta e nos memoriais descritivos os quais integram esta Portaria para todos os efeitos.

Art. 2º A transferência patrimonial da área civil para o Ministério da Infraestrutura (MINFRA) será efetivada oportunamente pela Secretaria de Coordenação e Governança do Patrimônio da União (SCGPU), do Ministério da Economia (ME).

Art. 3º As áreas classificadas como especiais sujeitam-se ao disposto na Portaria Conjunta nº 6, de 5 de setembro de 2018, alterada pela Portaria COMAER/DECEA nº 77, de 31 de maio de 2019, que dispõe sobre as diretrizes para identificação e classificação de áreas utilizadas por instalações e equipamentos do Sistema de Controle do Espaço Aéreo Brasileiro (SISCEAB) nos aeródromos civis públicos.

Art. 4º Fica revogada a Portaria EMAER nº 40/2SC1, de 30 de novembro de 1998, e demais disposições em contrário.

Art. 5º Esta Portaria entra em vigor na data de sua publicação no Diário Oficial da União (DOU), ficando a cargo do MINFRA essa providência.

MARCELO SAMPAIO CUNHA FILHO
Secretário-Executivo - Ministério da Infraestrutura

Ten Brig Ar ANTONIO CARLOS MORETTI BERMUDEZ
Comandante da Aeronáutica

PORTARIA Nº 2.008, DE 2 DE OUTUBRO DE 2020

Declaração de utilidade pública, para fins de supressão vegetal, de empreendimento de interesse nacional, essencial à infraestrutura portuária.

O SECRETÁRIO-EXECUTIVO DO MINISTÉRIO DA INFRAESTRUTURA, no uso das atribuições que lhe confere o art. 37, inciso VI, do Anexo I, do Decreto nº 10.368, de 22 de maio de 2020, tendo em vista o disposto no art. 3º, caput, inciso VII, alínea "b", da Lei nº 11.428, de 22 de dezembro de 2006, no art. 3º, caput, inciso VIII, alínea "b", da Lei nº 12.651, de 25 de maio de 2012, na Lei nº 12.815, de 5 de junho de 2013, e de acordo com o que consta dos processos nºs. 50000.023737/2020-21 e 50000.056441/2019-52, resolve: